# 2025年臺灣國際科學展覽會 優勝作品專輯

作品編號 010035

參展科別 數學

作品名稱 Japanese triangle之探討與推廣

就讀學校 高雄市立高雄高級中學

高雄市立高雄女子高級中學

指導教師 黃佩瑜

謝秉融

作者姓名 黄宇綸

黃宇瑄

關鍵詞 三角形、迭代、高維

# 作者簡介



## 我是黄宇綸,目前就讀於高雄中學二年級。

從小我就對數學推理與科學研究有濃厚的興趣,尤其擅長數學與資訊領域。 我曾多次參加數學科學展覽,這次的研究主題與計算機科學相關,對熱愛競程的 我來說特別具有吸引力。研究的過程充滿挑戰,但我樂在其中,不僅鍛煉了我的 邏輯思考與創造力,更展現了我自主學習與解決問題的能力。

# 我是黄宇瑄,目前就讀於高雄女中二年級電資班。

除了寫程式外,我最大的興趣是唱歌,目前是雄女合唱團的成員。這是我和 雙胞胎弟弟第二次組隊參加國際科展,上一次是國二時。作為最有默契的研究夥 伴,我們分工合作、共同討論,將一個個想法轉化為實際作品,過程既充實又令 人感到無比成就感。

# 2025 年臺灣國際科學展覽會

# 研究報告

區別:

科別:數學科

作品名稱: Japanese triangle 之探討與推廣

關 鍵 詞:三角形、迭代、高維

編號:

摘	要	01
	、前言	
	一、研究動機	02
	二、研究目的	02
	三、文獻回顧	02
	四、研究工具	02
貳	、研究過程與方法	02
	研究一:Δ <sub>n,ℓ</sub> 之最佳路徑最小化問題	04
	研究二: $\Delta_{n,\ell}$ 之最糟路徑最大化問題	12
	研究三:Δ* <sub>n,ℓ</sub> 之最佳路徑最小化問題	18
	研究四:Δ* <sub>n,ℓ</sub> 之最糟路徑最大化問題	28
	研究五:ℓ=1高維空間情形之探討	38
參、	、研究結果	46
肆	、討論與未來展望	48
伍、	、參考文獻資料	48

附錄:程式碼

## Japanese triangle 之探討與推廣

#### Research on Japanese triangle

## 摘要

本作品在探討 2023 年 IMO 問題 5 中所提到的關於  $\mathbf{l}$  式  $\mathbf{j}$  角形( $\mathbf{j}$   $\mathbf{j}$ 

### **Abstract**

The paper explores the problem concerning the *Japanese triangle* mentioned in Problem 5 of the 2023 IMO. Let n be a positive integer. A *Japanese triangle* consists of  $1+2+\cdots+n$  circles arranged in an equilateral triangular shape such that for each  $i=1,2,\cdots,n$ , the  $i^{th}$  row contains exactly i circles, exactly one of which is coloured red. A *ninja path* in a Japanese triangle is a sequence of n circles obtained by starting in the top row, then repeatedly going from a circle to one of the two circles immediately below it and finishing in the bottom row. Our research is divided into two directions:

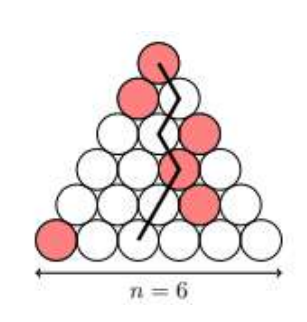
- 1. In terms of *n*, find the greatest *k* such that in each Japanese triangle there is a ninja path containing at least *k* red circles.
- 2. In terms of *n*, find the smallest *k* such that in each Japanese triangle there is a ninja path containing at most *k* red circles.

In our research, we generalize the number of red circles in each column to be any natural number  $\ell$  (if the total number of circles in the column is less than  $\ell$ , the color will be colored based on the total number of circles in the column), and extend the problem to the case of a spatial triangular stack. Finally, we extend the case of  $\ell = 1$  to high-dimensional spaces.

## 壹、前言

## 一、研究動機

2023 年 IMO 問題 5:「設 n 為正整數。日式三角形(Japanese triangle)是將 $1+2+\cdots+n$  個圓排成正三角形的形狀,使得對所有  $i=1,2,\cdots,n$ ,由上往下數的第 i 列有 i 個圓,且每一列都有一個圓塗 成紅色。在日式三角形中,所謂的**忍者路徑(ninja path)**,是一串由最上列到最下列的 n 個圓,其中每個圓連到其下一列與之相鄰的兩圓之一。試找出 k 的最大值,保證在每一個日式三角形中,有一條包含至 少 k 個紅色圓的忍者路徑。」



若將每一列都有一個圓塗成紅色改成每一列都有 ℓ 個圓塗成紅色(若該列總圓數不足 ℓ 則以該列總圓數塗色),或是將平面三角形改成空間三角垛排列,結果又是如何呢?我們展開一連串的研究。

## 二、研究目的

- (-)找出k的最大值,保證在每一個日式三角形中,有一條包含至少k個紅色圓的忍者路徑。
- (二)找出k的最小值,保證在每一個日式三角形中,有一條包含至多k個紅色圓的忍者路徑。
- (三)一般化每一列的紅圓數為任意自然數 ℓ。
- (四)將平面日式三角形的情形,推廣到空間日式三角垛的情形。
- (五)將ℓ=1的情形推廣至高維空間。

# 三、文獻回顧

我們參考了網路上外國網友發表的各種題解,採用與文獻[2]類似的解題方式更嚴謹的證明了 IMO 原題,並加以推廣。

## 四、研究工具

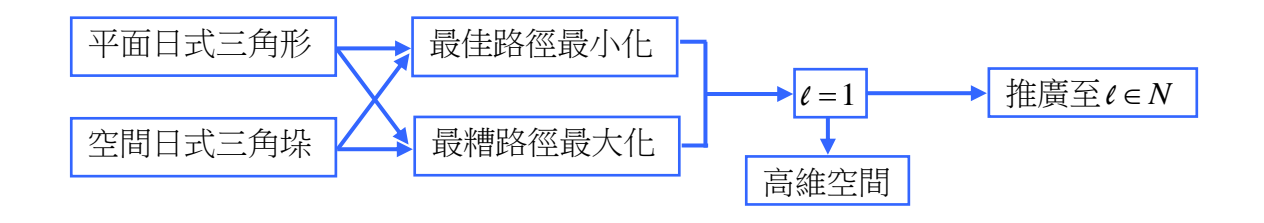
筆、電腦、C++、Python、GeoGebra

## 貳、研究過程與方法

# 題意說明

原題中「找出k的最大值,保證在每一個日式三角形中,有一條包含至少k個紅色圓的忍者路徑。」,意同於「每一個n階日式三角形中,均有一條由最上列到最下列通過最多紅圓的最佳路徑,求這些最佳路徑所通過的紅圓數的最小值k。」我們將這個求k值的過程簡稱「**最佳路徑最小化**」。同理,「找出k的最小值,保證在每一個日式三角形中,有一條包含至多k個紅色圓的忍者路徑。」之求k值的過程簡稱「**最糟路徑最大化**」。

## 研究流程



名詞與符號定義 (研究一)(推廣時所使用的名詞與符號補充定義於各研究內容前)

(一)n 階  $\ell$  型日式三角形(記作  $\Delta_{n,\ell}$ ):將 $1+2+\cdots+n$  個圓排成正三角形的形狀,使得對所有  $i=1,2,\cdots,n$ ,由上往下數的第i 列有 i 個圓,且第i 列塗成紅色的圓數為  $\min\{i,\ell\}$ 。

(二)忍者路徑:一條路徑通過日式三角形中最上列到最下列的圓,其中每個圓連到其下一列 與之相鄰的兩圓之一。如圖 1,藍色路徑即為一條通過 4 個紅圓的忍者路徑。

(三)最佳路徑:通過最多紅圓數的忍者路徑。如圖 1,藍色路徑即為此日式三角形由最上列至最下列的最佳路徑(不一定唯一)。

(四)最糟日式三角形:由最上列到最下列,最佳路徑所通過的紅圓數為最小的日式三角形。

 $(\Xi)J_{\ell}(n):n$  階  $\ell$ 型最糟日式三角形中,由最上列到最下列,其最佳路徑所通過的紅圓數。

(六)(i,j):日式三角形中,由上往下數的第i列中,由左往右數的第i個圓之坐標。

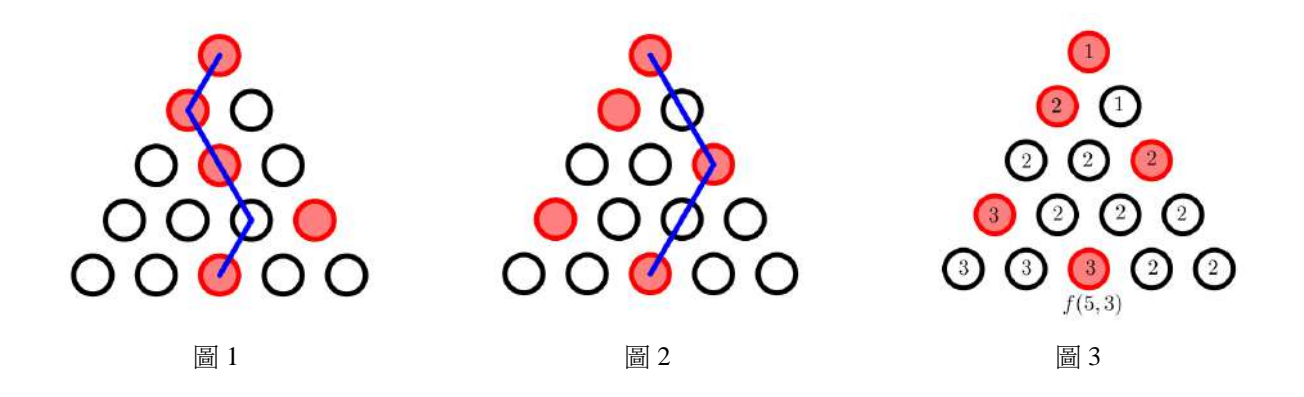
(七) f(i, j):由(1,1)至(*i*, *j*)的最佳路徑所通過的紅圓數。如圖 2, f(5,3)=3。

(八)第 i 列之最佳序列: $(f(i,1), f(i,2), \dots, f(i,i))$ 。如圖 3,第 5 列之最佳序列為(3,3,3,2,2)。

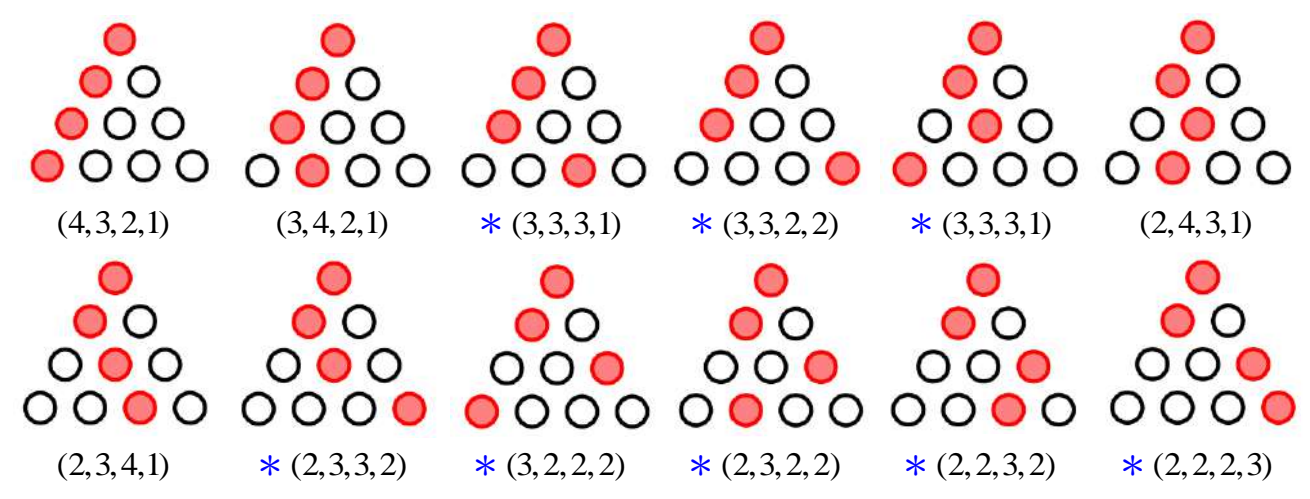
(九)最佳序列之次狀態列:給定一最佳序列 $(f(i,1), f(i,2), \dots, f(i,i))$ ,則其次狀態列為

 $(f(i,1), Max\{f(i,1), f(i,2)\}, Max\{f(i,2), f(i,3)\}, \dots, Max\{f(i,i-1), f(i,i)\}, f(i,i))$ 

記作 $(f(i,1), f(i,2), \dots, f(i,i))$ '。例如:(4,5,2,3,1)'=(4,5,5,3,3,1)。



【例】窮舉法列出所有的 $\Delta_{4,1}$ 以及其第 4 列之最佳序列。(共 24 個,因對稱性僅需列出 12 個。)



由上可知,標示藍星的日式三角形即為最糟日式三角形,且 $J_1(4)=3$ 。

#### **研究一:**Δ<sub>n</sub>, 之最佳路徑最小化問題

首先,我們將 $\Delta_n$ ,中f(i,j)的求值規則整理於下:

## $\Delta_{n,\ell}$ 中 f(i,j)的求值規則:

$$f(i,j) = \begin{cases} f(i-1,j) + c &, j = 1 \\ Max\{f(i-1,j-1), f(i-1,j)\} + c, 2 \le j \le i-1 \end{cases}$$

$$f(i,j) = \begin{cases} f(i-1,j) + c &, j = 1 \\ f(i-1,j-1) + c &, j = i \end{cases}$$

由以上求值規則可得到以下性質:

性質 1: 在 $\Delta_{n,\ell}$ 中,第i列最佳序列總和=第(i-1)列最佳序列之次狀態列總和+ $\ell$ 。

#### (一) ℓ = 1 (IMO 原題)

首先,我們計對較小的n值做嘗試,找出 $J_1(n)$ 值,整理於下表:

n	1	2	3	4	5	6	7	8	9	10	11	12	13	14	15	16
$J_1(n)$	1	2	2	3	3	3	3	4	4	4	4	4	4	4	4	5

我們可以輕易的觀察出規律,並得到 $J_1(n) = [\log_2 n] + 1$ 的結果。在研究的過程中,我們也發現,要建構出最糟日式三角形並不難,它的排列原則為<u>每列的紅圓盡量錯開上一列紅圓下方相鄰的兩圓</u>。如圖 4 的紅圓排列(若第i列紅圓座標為(i,j),則第i+1列紅圓座標為(i+1,j'),其中 $j+2\equiv j' \pmod{i+1},1\leq j'\leq i+1$ 。),便可得出其中一個最糟 $\Delta_{7,1}$ ,其中第 7 列的最佳序列為 (3,3,3,3,3,3,3,3),我們將這樣的排列法稱為「斜列錯開法」。

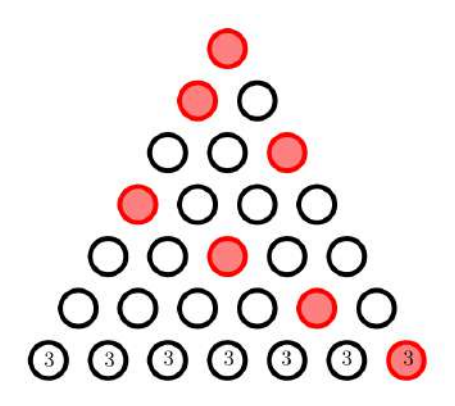


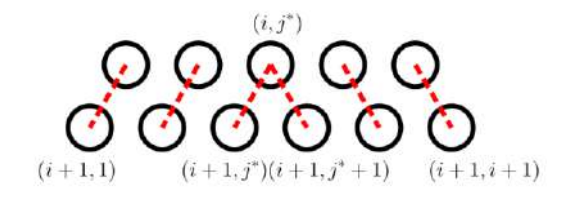
圖 4

定理 2:在 $\Delta_{n,1}$ 中, $J_1(n) = \lceil \log_2 n \rceil + 1$ 。

#### 【證明】

$$\Rightarrow S_i = \sum_{j=1}^i f(i,j)$$
,即第  $i$  列之最佳序列總和。

Claim 1.  $S_{i+1} \ge 1 + S_i + \left\lceil \frac{S_i}{i} \right\rceil, \quad \forall i \in \mathbb{N}$ 



*Proof.* 令第 i 列之最佳序列中最大值為  $f(i, j^*)$  ,顯然  $f(i, j^*) ≥ \left\lceil \frac{S_i}{i} \right\rceil$  。

$$\begin{split} \text{II} \ S_{i+1} &= \sum_{j=1}^{i+1} f(i+1,j) = \sum_{j=1}^{j^*} f(i+1,j) + \sum_{j=j^*+1}^{i+1} f(i+1,j) \\ &\geq 1 + \sum_{j=1}^{j^*} f(i,j) + \sum_{j=j^*}^{i} f(i,j) = 1 + S_i + f(i,j^*) \geq 1 + S_i + \left\lceil \frac{S_i}{i} \right\rceil \end{split}$$

<u>Claim2.</u> 若 $n=2^{k-1}+r$ ,  $0 \le r \le 2^{k-1}-1$ ,則 $S_n \ge n(k-1)+2r+1$ ,  $\forall n \in N$ 。

*Proof.* 當 
$$n=1=2^0+0$$
,即  $k=1, r=0$ ,  $S_1=1 \ge 1 \cdot (1-1) + 2 \cdot 0 + 1$  原式成立

設 
$$n=2^{k-1}+r$$
 ,  $0 \le r \le 2^{k-1}-1$  時,原式成立,即  $S_n \ge n(k-1)+2r+1$  ,

$$\operatorname{Ell}\left[\frac{S_n}{n}\right] \ge \left[\frac{n(k-1)+2r+1}{n}\right] = \left[(k-1)+\frac{2r+1}{n}\right] = k$$

$$(\because 0 \le r \le 2^{k-1} - 1 \therefore 1 \le 2r + 1 = (r+1) + r \le 2^{k-1} + r = n \Longrightarrow 0 < \frac{2r+1}{n} \le 1)$$

分成 2 種 case 考慮  $S_{n+1}$ :

$$S_{n+1} \ge 1 + S_n + \left\lceil \frac{S_n}{n} \right\rceil \ge 1 + n(k-1) + 2r + 1 + k = (n+1)(k-1) + 2(r+1) + 1$$

(2) 當 
$$r = 2^{k-1} - 1$$
 時,  $n+1=2^k + 0$ 

$$S_{n+1} \ge 1 + S_n + \left\lceil \frac{S_n}{n} \right\rceil \ge 1 + n(k-1) + 2r + 1 + k = 1 + nk - n + 2^k - 2 + 1 + k = (n+1)k + 1$$

(1)(2)皆成立。由數學歸納法得證

由 Claim2 知, 
$$f(n,j^*) \ge \left\lceil \frac{S_n}{n} \right\rceil \ge \left\lceil \frac{n(k-1)+2r+1}{n} \right\rceil = \left\lceil (k-1) + \frac{2r+1}{n} \right\rceil = k$$
,而我們確實可以

「斜列錯開法」建構出一個  $\Delta_{n,1}$  滿足  $f(n,j^*)=k$ ,故  $J_1(n)=k=\log_2(n-r)+1=\left[\log_2n\right]+1$ 。

 $[\log_2 n]+1$ 的涵義]n可以執行幾次「除以2」的運算後小於1,即n以二進位表示的位數。

 $(\Box) \ell = 2$ 

我們同樣先針對較小的n值做嘗試,找出 $J_2(n)$ 值,整理於下表:

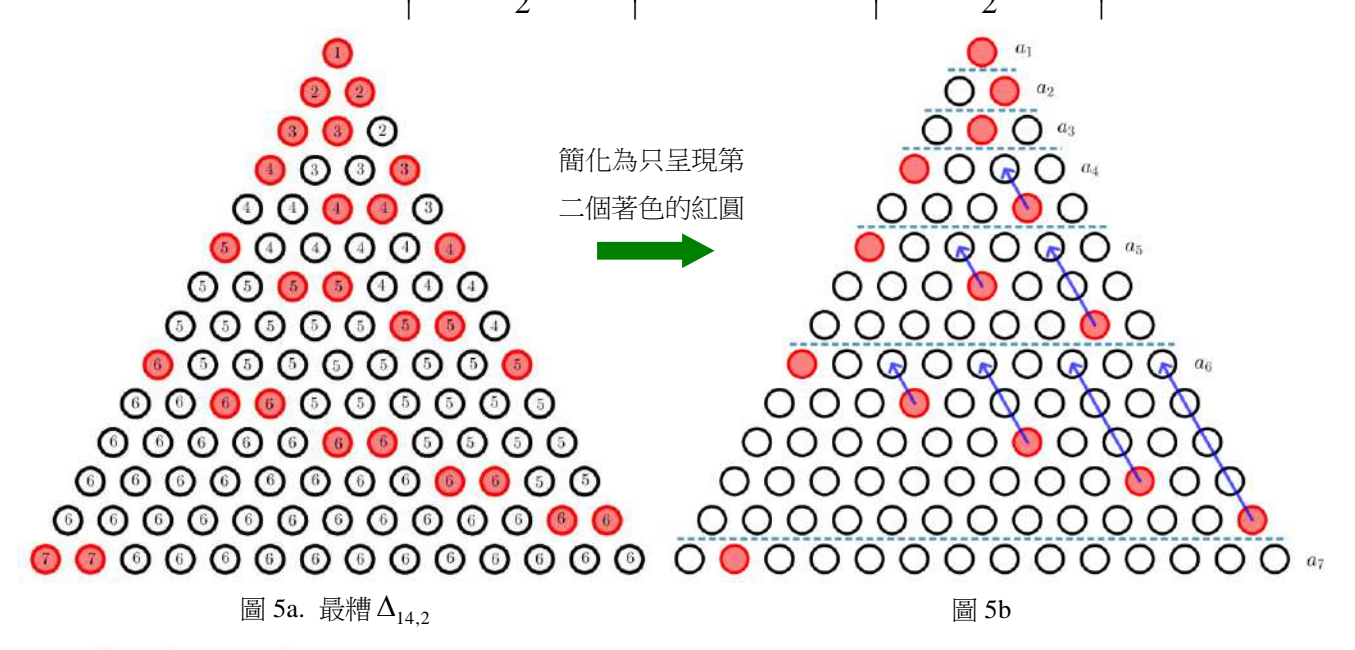
n	1	2	3	4	5	6	7	8	9	10	11	12	13	14	15	16
$J_2(n)$	1	2	3	4	4	5	5	5	6	6	6	6	6	7	7	7
n	17	18	19	20	21	22	23	24	25	26	27	28	29	30	31	32
$J_2(n)$	7	7	7	7	8	8	8	8	8	8	8	8	8	8	9	9

在觀察  $J_2(n)$  的公式時並不顯然,所以我們鎖定滿足  $J_2(n)=\overline{J_2(n-1)}+1$  的 n 值來作研究。 設  $a_k$  為滿足  $J_2(n)=k$  的最小 n 值,可得數列  $\langle a_k \rangle$ :1,2,3,4,6,9,14,21,31,……,而這個數列會

滿足遞迴關係式 
$$\left\{ a_k = 1 + \left\lceil \frac{\sum_{i=1}^{k-1} a_i}{2} \right\rceil, k \ge 2 \right.$$
 。 
$$a_1 = 1$$

問題: 為什麼會有這個遞迴關係式呢?

分析:我們以圖 5a~5c 的例子來說明。圖 5a 為我們以「斜列錯開法」建構出的最糟  $\Delta_{14,2}$ ,其排列原則為每一列的紅圓位置盡量錯開上一列紅圓下方相鄰的兩圓,即若第i 列著色的圓依序 為  $(i,j_1)$ , $(i,j_2)$  ,則第i+1 列著色的圓依序為  $(i+1,j_1)$ , $(i+1,j_2)$  ,其中  $j_2+2\equiv j_1$  '(mod i+1),  $j_2+3\equiv j_2$  '(mod i+1), $1\leq j_1$ ', $j_2$ ' ' $\leq i+1$  。事實上,其前 i 列 ( $i=1,2,\cdots,14$ ) 所形成的三角形皆為最糟  $\Delta_{i,2}$  。為了研究方便,我們只記錄每一列第二個著色的紅圓位置(圖 5b),並可觀察到第  $a_k \sim (a_{k+1}-1)$  列的最佳序列之最大值均為 k 。將圖 5b 中第  $a_1$ , $a_2$ , $a_3$ , $a_4$ , $a_5$ , $a_6$  列取出排成一列 (圖 5c),並如圖 5b 所示補上紅圓,可知整列圓共有  $\left[\frac{a_1+a_2+\cdots+a_6}{2}\right]$  個紅圓,又一列恰一個 紅圓,即代表第  $a_7$ 列前共有  $\left[\frac{a_1+a_2+\cdots+a_6}{2}\right]$  列,因此  $a_7=1+\left[\frac{a_1+a_2+\cdots+a_6}{2}\right]$  。



不過,這畢竟只是一個特例,我們仍然得嚴謹的證明  $J_2(n)$  與 $\langle a_k \rangle$  確實是具有以上關係,且我們也想要找出 $\langle a_k \rangle$ 的通式。然而我們查詢 OEIS,雖然可以找到相同數列 <u>A005428</u>,但完全無法找到這個數列的通式,顯然要表示這個通式是有困難的,因此我們採用另一個方式來描述  $\Delta_{n,2}$  最佳路徑最小化的情形。

定理 
$$3$$
:在  $\Delta_{n,2}$ 中, 令數列  $\langle a_k \rangle$  滿足  $\left\{ a_k = 1 + \left\lceil \frac{\sum\limits_{i=1}^{k-1} a_i}{2} \right\rceil, k \geq 2 \right.$ , 若  $a_k \leq n < a_{k+1}$ ,則  $J_2(n) = k$  。

#### 【證明】

 $\Rightarrow S_i = \sum_{j=1}^i f(i,j)$ ,即第 i 列之最佳序列總和。

 $(i+1,1) \bigcirc (i+1,j^*)(i+1,j^*+1) \bigcirc (i+1,i+1)$ 

$$\underline{\text{Claim1.}} \ S_{i+1} \ge 2 + S_i + \left\lceil \frac{S_i}{i} \right\rceil, \quad \forall i \in \mathbb{N}$$

*Proof.* 令第 i 列之最佳序列中最大值為  $f(i,j^*)$  ,顯然  $f(i,j^*) ≥ \left[\frac{S_i}{i}\right]$  。

$$\begin{split} & \text{II} \ S_{i+1} = \sum_{j=1}^{i+1} f(i+1,j) = \sum_{j=1}^{j^*} f(i+1,j) + \sum_{j=j^*+1}^{i+1} f(i+1,j) \\ & \geq 2 + \sum_{j=1}^{j^*} f(i,j) + \sum_{j=j^*}^{i} f(i,j) = 2 + S_i + f(i,j^*) \geq 2 + S_i + \left\lceil \frac{S_i}{i} \right\rceil \end{split}$$

<u>Claim2.</u> 若 $n = a_k + r$ ,  $0 \le r \le a_{k+1} - a_k - 1$ ,  $k \ge 2$ ,則

(1)   
   
當 
$$a_1+a_2+\cdots+a_{k-1}$$
 為奇數時,  $S_n \geq n(k-1)+3r+2$ 。

(1) 當  $a_1 + a_2 + \dots + a_{k-1}$  為奇數時,  $S_n \ge n(k-1) + 3r + 2$ ,

此時 
$$a_{k+1} - a_k = \left(1 + \left\lceil \frac{a_1 + a_2 + \dots + a_k}{2} \right\rceil \right) - \left(1 + \left\lceil \frac{a_1 + a_2 + \dots + a_{k-1}}{2} \right\rceil \right) = \left\lceil \frac{a_k}{2} \right\rceil$$

上式原因如下:

① 
$$a_k$$
 為奇數時,  $a_{k+1} - a_k = \frac{a_1 + a_2 + \dots + a_k}{2} - \frac{a_1 + a_2 + \dots + a_{k-1} + 1}{2} = \frac{a_k - 1}{2} = \left\lceil \frac{a_k}{2} \right\rceil$ 

② 
$$a_k$$
 為偶數時,  $a_{k+1} - a_k = \frac{a_1 + a_2 + \dots + a_k + 1}{2} - \frac{a_1 + a_2 + \dots + a_{k-1} + 1}{2} = \frac{a_k}{2} = \left[\frac{a_k}{2}\right]$ 

$$\exists \left[ \frac{S_n}{n} \right] \ge \left[ \frac{n(k-1) + 3r + 2}{n} \right] = \left[ (k-1) + \frac{3r + 2}{n} \right] = k$$

$$(\because 0 \le r \le \left[ \frac{a_k}{2} \right] - 1 \therefore 2 \le 3r + 2 = 2r + 2 + r \le 2 \cdot \left[ \frac{a_k}{2} \right] + r \le 2 \cdot \frac{a_k}{2} + r = n \Rightarrow 0 < \frac{3r + 2}{n} \le 1$$

分成 2 種 case 考慮  $S_{n+1}$ :

(a) 當 
$$0 \le r \le a_{k+1} - a_k - 2 = \left[\frac{a_k}{2}\right] - 2$$
 時,  $n+1 = a_k + (r+1)$  ,

$$\text{III } S_{n+1} \ge 2 + S_n + \left\lceil \frac{S_n}{n} \right\rceil \ge 2 + n(k-1) + 3r + 2 + k = (n+1)(k-1) + 3(r+1) + 2$$

(b) 當 
$$r = a_{k+1} - a_k - 1 = \left[\frac{a_k}{2}\right] - 1$$
 時,  $n+1 = a_{k+1} + 0$ 

$$\exists S_{n+1} \ge 2 + S_n + \left\lceil \frac{S_n}{n} \right\rceil \ge 2 + n(k-1) + 3r + 2 + k = (n+1)k + 3r + 4 - n$$

$$= (n+1)k + (2r+4) - a_k = (n+1)k + 2\left[\frac{a_k}{2}\right] + 2 - a_k$$

① 
$$a_k$$
 為奇數時,  $S_{n+1} \ge (n+1)k + 2 \cdot \frac{a_k - 1}{2} + 2 - a_k = (n+1)k + 3 \cdot 0 + 1$ 

② 
$$a_k$$
 為偶數時,  $S_{n+1} \ge (n+1)k + 2 \cdot \frac{a_k}{2} + 2 - a_k = (n+1)k + 3 \cdot 0 + 2$ 

(a)(b)皆成立 由數學歸納法得證

(2)同理(1)之證明過程,我們可以證得,當 $a_1 + a_2 + \cdots + a_{k-1}$ 為偶數時,

$$S_n \ge n(k-1) + 3r + 1$$
。(完整證明於研究日誌)

由 Claim2 知,若  $n=a_k+r$  ,  $0 \le r \le a_{k+1}-a_k-1$  ,  $k \ge 2$  ,當  $a_1+a_2+\cdots+a_{k-1}$  為奇數時,

$$f(n,j^*) \ge \left\lceil \frac{S_n}{n} \right\rceil \ge \left\lceil \frac{n(k-1)+3r+2}{n} \right\rceil = \left\lceil (k-1) + \frac{3r+2}{n} \right\rceil = k \circ$$
 同理當 $a_1 + a_2 + \dots + a_{k-1}$ 為偶數

時,
$$f(n, j^*) \ge \left\lceil \frac{S_n}{n} \right\rceil \ge \left\lceil \frac{n(k-1)+3r+1}{n} \right\rceil = \left\lceil (k-1) + \frac{3r+1}{n} \right\rceil = k$$
。而我們確實可以「斜列錯開

法」建構出一個
$$\Delta_{n,2}$$
滿足 $f(n,j^*)=k$ ,故若 $a_k \le n < a_{k+1}$ ,則 $J_2(n)=k$ 。

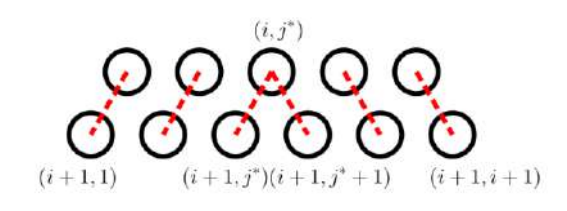
#### $(\Xi)\ell \in N$

接下來,我們要探討日式三角形一般化的情形,也就是《為任意自然數的情形。

定理 
$$4$$
: 在  $\Delta_{n,\ell}$ 中, 令數列  $\langle a_k \rangle$ 滿足 
$$\begin{cases} a_k = 1 + \left\lceil \sum_{i=1}^{k-1} a_i + \frac{(\ell-1)(\ell-2)}{2} \right\rceil, k \geq \ell+1 \\ a_1 = 1, a_2 = 2, \cdots, a_\ell = \ell \end{cases},$$
 則  $J_{\ell}(n) = k$  。

### 【證明】

$$\diamondsuit S_i = \sum_{i=1}^i f(i,j)$$
,即第  $i$  列之最佳序列總和。



*Proof.* 顯然 $S_i = i^2$ ,  $\forall 1 \le i \le \ell$  是成立的,我們只需證明不等式中 $i \ge \ell$ 的情形。

令第 i 列之最佳序列中最大值為  $f(i,j^*)$  ,顯然  $f(i,j^*) \geq \left\lceil \frac{S_i}{i} \right\rceil$  。

$$\begin{split} & \text{II} \ S_{i+1} = \sum_{j=1}^{i+1} f(i+1,j) = \sum_{j=1}^{j^*} f(i+1,j) + \sum_{j=j^*+1}^{i+1} f(i+1,j) \\ & \geq \ell + \sum_{j=1}^{j^*} f(i,j) + \sum_{j=j^*}^{i} f(i,j) = \ell + S_i + f(i,j^*) \geq \ell + S_i + \left\lceil \frac{S_i}{i} \right\rceil \end{split}$$

<u>Claim2.</u> 若  $n = a_k + r$ ,  $0 \le r \le a_{k+1} - a_k - 1$ ,  $k \ge \ell$ , 則

當 
$$a_1 + a_2 + \dots + a_{k-1} + \frac{(\ell-1)(\ell-2)}{2} \equiv t \pmod{\ell}, t = 1, 2, \dots, \ell, k \ge 2$$
時,

$$S_n \ge n(k-1) + (\ell+1)r + (\ell+1-t)$$

$$a_1 + a_2 + \dots + a_{\ell-1} + \frac{(\ell-1)(\ell-2)}{2} = 1 + 2 + \dots + (\ell-1) + \frac{(\ell-1)(\ell-2)}{2} = (\ell-1)^2 \equiv 1 \pmod{\ell}$$

$$S_{\ell} = \ell^2 \ge \ell(\ell-1) + (\ell+1) \cdot 0 + (\ell+1-1) = \ell^2$$
 原式成立.

設 
$$n=a_k+r$$
 ,  $0 \le r \le a_{k+1}-a_k-1$  ,  $k \ge \ell$  時 ,原式成立 即

當 
$$a_1 + a_2 + \dots + a_{k-1} + \frac{(\ell-1)(\ell-2)}{2} \equiv t \pmod{\ell}$$
 時,  $S_n \ge n(k-1) + (\ell+1)r + (\ell+1-t)$ ,

此時

$$\begin{aligned} a_{k+1} - a_k &= \left(1 + \left\lceil \frac{a_1 + a_2 + \dots + a_k + \frac{(\ell - 1)(\ell - 2)}{2}}{\ell} \right\rceil \right) - \left(1 + \left\lceil \frac{a_1 + a_2 + \dots + a_{k-1} + \frac{(\ell - 1)(\ell - 2)}{2}}{\ell} \right\rceil \right) \\ &= \left\lceil \frac{a_k + (t - 1)}{\ell} \right\rceil \end{aligned}$$

$$\operatorname{Elj}\left[\frac{S_n}{n}\right] \ge \left[\frac{n(k-1) + (\ell+1)r + (\ell+1-t)}{n}\right] = \left[(k-1) + \frac{(\ell+1)r + (\ell+1-t)}{n}\right] = k$$

上式原因如下: 
$$\because 0 \le r \le \left[\frac{a_k + (t-1)}{\ell}\right] - 1$$

$$\begin{split} & \therefore \ell+1-t \leq (\ell+1)r+(\ell+1-t)=\ell \cdot r+(\ell+1-t)+r \leq \ell \cdot \left(\left[\frac{a_k+(t-1)}{\ell}\right]-1\right)+(\ell+1-t)+r \\ & \leq \ell \cdot \frac{a_k+(t-1)}{\ell}+1-t+r=a_k+r=n \Rightarrow 0 < \frac{(\ell+1)r+(\ell+1-t)}{n} \leq 1 \end{split}$$

分成 2 種 case 考慮  $S_{n+1}$ :

(a)(b)皆成立 由數學歸納法得證

曲 Claim1、Claim2 知,若1≤
$$n < \ell$$
,  $f(n, j^*) \ge \left\lceil \frac{S_n}{n} \right\rceil = \left\lceil \frac{n^2}{n} \right\rceil = n = a_n$  若 $n = a_k + r$ , $0 \le r \le a_{k+1} - a_k - 1$ , $k \ge \ell$ ,

$$f(n,j^*) \ge \left\lceil \frac{S_n}{n} \right\rceil \ge \left\lceil \frac{n(k-1) + (\ell+1)r + (\ell+1-t)}{n} \right\rceil = \left\lceil (k-1) + \frac{(\ell+1)r + (\ell+1-t)}{n} \right\rceil = k \circ$$

而我們確實可以「斜列錯開法」建構出一個 $\Delta_{n,\ell}$ 滿足 $f(n,j^*)=k$ ,因此,

若
$$a_k \le n < a_{k+1}$$
,則 $J_{\ell}(n) = k$ 。

### 【直觀證明】

以上我們使用代數的方式證明了定理 4,然而證明過程複雜且冗長,因此我們開始思考,是否有一種直觀的方法可以證明  $J_{\ell}(n)$  與數列  $\langle a_k \rangle$  的關係,也就是說,若我們能說明「斜列錯開法」確實可建構出最糟日式三角形**(不會再更糟了)**,那麼只需針對這個排列法去求  $J_{\ell}(n)$  的 通式即可。以下描述「平面斜列錯開法」的排列規則:

#### 平面斜列錯開法:

在  $\Delta_{n,\ell}$  中,設第 i 列紅圓坐標為  $(i,j_s)$  ,  $1 \le s \le m_i$  ,其中  $m_i = \min\{i,\ell\}$  ,則第 i+1 列的紅圓 坐標為  $(i+1,j_s')$  ,  $1 \le s \le m_{i+1}$  ,其中  $j_{m_i}+s+1 \equiv j_s$  ' (mod i+1) ,  $1 \le j_s$  '  $\le i+1$  。

我們觀察定理 4 證明中 Claim1 的部分,它說明了  $S_{i+1}$  與  $S_i$  的關係。

<u>問題 1</u>:不等式  $S_{i+1} \ge \ell + S_i + \left\lceil \frac{S_i}{i} \right\rceil$  等號何時成立?

$$S_{i+1} = \sum_{j=1}^{i+1} f(i+1, j) = \sum_{j=1}^{j^*} f(i+1, j) + \sum_{j=j^*+1}^{i+1} f(i+1, j)$$

$$\geq \ell + \sum_{j=1}^{j^*} f(i,j) + \sum_{j=j^*}^{i} f(i,j) = \ell + S_i + f(i,j^*) \geq \ell + S_i + \left\lceil \frac{S_i}{i} \right\rceil$$

由上式可知,當 $\begin{cases} f(i+1,j) = f(i,j) + c & , 1 \leq j \leq j^* \\ f(i+1,j) = f(i,j-1) + c, j^* + 1 \leq j \leq i+1 \end{cases}$ ,其中(i+1,j)為紅圓時c=1,反

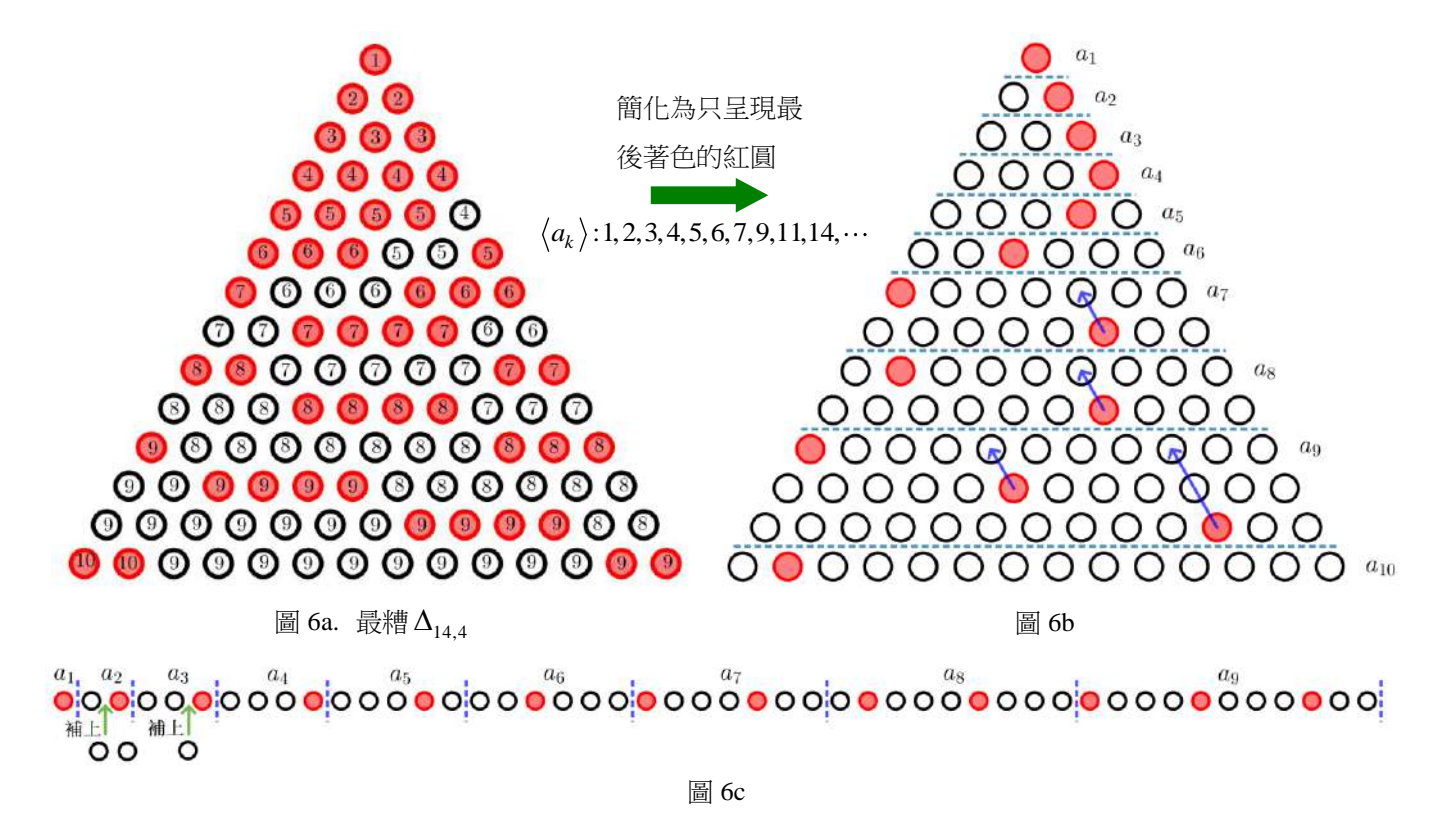
之c=0,且 $f(i,j^*)=\left\lceil \frac{S_i}{i} \right
ceil$ 時,等號便會成立,此時 $S_{i+1}$ 會達到最小值,而第i+1列之最佳

序列為只由  $\left\lceil \frac{S_{i+1}}{i+1} \right
right
right$ 

的紅圓數為 $\left\lceil \frac{S_{i+1}}{i+1} \right
ceil$ ,且不可能再少了!依此類推,便可建構出任何大小的最糟日式三角形。

顯然「斜列錯開法」所建構出的 $\Delta_{n,\ell}$ 可滿足這個目標,因此我們只需要針對這樣的特例去

尋找其每列的最佳序列最大值,便可得知 $J_{\iota}(n)$ 的值,事實上這個值就是 $\left| \frac{S_n}{n} \right|$ 。



<u>問題 2</u>: 定理 4 中的數列 $\langle a_k \rangle$ 之遞迴關係式如何得知?

分析: 以圖 6a 做說明,它是一個以「斜列錯開法」建構出的最糟  $\Delta_{14,4}$ ,其第  $a_k \sim (a_{k+1}-1)$  列 的最佳序列之最大值均為 k。將圖 6b 中第  $a_1$ , $a_2$ , $a_3$ , $a_4$ , $a_5$ , $a_6$ , $a_7$ , $a_8$ , $a_9$ 列取出排成一列於圖 6c,並如圖 6b 所示補上紅圓,同時第  $a_2$ , $a_3$ 列須再分別補上 2 個與 1 個空圓,因此整列圓中共有 $\left[\frac{a_1+\cdots+a_9+(1+2)}{4}\right]$  個紅圓,又一列恰一個紅圓,即第  $a_{10}$ 列前共有  $\left[\frac{a_1+\cdots+a_9+(1+2)}{4}\right]$ 列,因此  $a_{10}=1+\left[\frac{a_1+\cdots+a_9+(1+2)}{4}\right]$ 。同理在最糟  $\Delta_{n,\ell}$ 中,取出的第  $a_2\sim a_{\ell-1}$ 列的圓必須要補上  $1+2+\cdots+(\ell-2)$  個,因此  $a_k=1+\left[\frac{\sum_{i=1}^{k-1}a_i+\frac{(\ell-1)(\ell-2)}{2}}{\ell}\right]$ 。

由以上討論,可證明「平面斜列錯開法」確實可建構出最糟日式三角形並得到定理4的結果。

### 研究二: $\Delta_n$ 之最糟路徑最大化問題

解決了 $\Delta_{n,\ell}$ 之最佳路徑最小化問題後,我們將問題改成:「找出k的最小值,保證在每一個日式三角形中,有一條包含至多k個紅色圓的忍者路徑。」為了研究需要,補充幾個名詞與符號定義於下:

# **名詞與符號定義** (研究二)

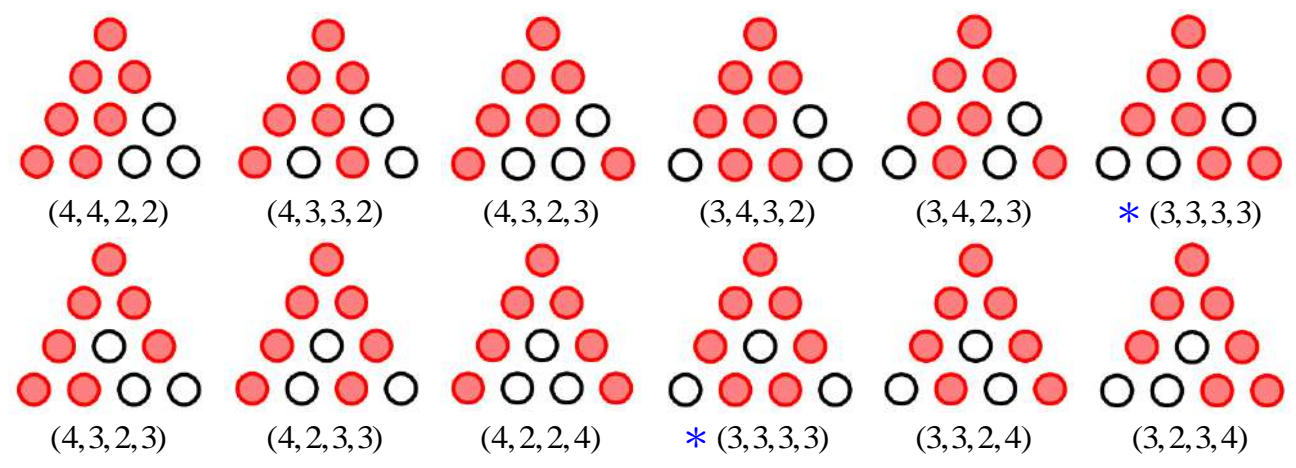
(一)最糟路徑:通過最少紅圓數的忍者路徑。

- (二)最佳日式三角形: 由最上列到最下列, 最糟路徑所通過的紅圓數為最大的日式三角形。
- $(\Xi)I_{\ell}(n):n$  階  $\ell$ 型最佳日式三角形中,由最上列到最下列,其最糟路徑所通過的紅圓數。
- (四) g(i,j) :由(1,1) 至(i,j) 的最糟路徑所通過的紅圓數。
- (五)第i列之最糟序列: $(g(i,1),g(i,2),\cdots,g(i,i))$ 。
- (六)最糟序列之次狀態列:給定一最糟序列 $\left(g(i,1),g(i,2),\cdots,g(i,i)\right)$ ,則其次狀態列為

$$g(i,1), \min\{g(i,1),g(i,2)\}, \min\{g(i,2),g(i,3)\}, \dots, \min\{g(i,i-1),g(i,i)\},g(i,i)\}$$

記作
$$(g(i,1),g(i,2),\cdots,g(i,i))$$
'。例如: $(4,5,2,3,1)$ '= $(4,4,2,2,1,1)$ 。

【例】窮舉法列出所有的 $\Delta_{4,2}$ 以及其第 4 列之最糟序列。(共 18 個,因對稱性僅需列出 12 個。)



由上可知,標示藍星的日式三角形即為最佳日式三角形,且 $I_2(4)=3$ 。

同研究一,我們將 $\Delta_{n,i}$ 中g(i,j)的求值規則整理於下:

## $\Delta_{n,\ell}$ 中 g(i,j) 的求值規則:

$$g(i,j) = \begin{cases} g(i-1,j) + c &, j = 1 \\ \min\{g(i-1,j-1), g(i-1,j)\} + c, 2 \le j \le i-1 \end{cases}$$
 其中當 $(i,j)$  為紅圓時 $c = 1$ ,反之 $c = 0$ 。  $g(i-1,j-1) + c$   $j = i$ 

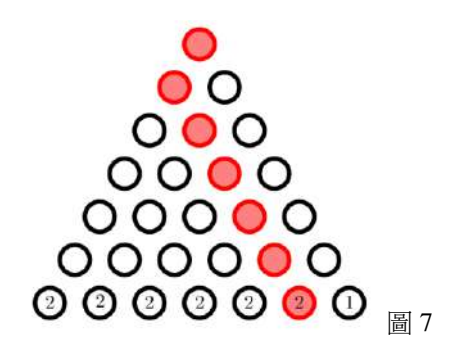
由以上求值規則可得到以下性質:

性質 5: 在 $\Delta_{n,\ell}$ 中,第i列最糟序列總和=第(i-1)列最糟序列之次狀態列總和+ $\ell$ 。

#### $(--)\ell=1$

當 $\ell=1$ 時, $I_1(n)=1$ 是顯然成立的,因為每個紅圓下方均有兩個圓與之相臨且至少有一個空圓,除了第一列起始紅圓外,**必存在一條忍者路徑不再通過其它紅圓**,也就是說,任意排列的 $\Delta_{n,1}$ 皆是最佳日式三角形。而建構最佳日式三角形的原則是<u>盡可能在空圓下方安排紅圓,</u>避免路徑一路經過太多空圓,依據這個原則,我們創造出「斜列防堵法」。

比如圖 7,便是利用「斜列防堵法」建構的 7 階最佳 日式三角形,其第 7 列之最糟序列為 (2,2,2,2,2,2,1),可以 觀察到,縱使我們很想中斷任何一條從第二列開始就沒通 過紅圓的路徑,但這是辦不到的,因為每列空圓增加 1 個, 單用 1 顆紅圓不足以阻擋第二列起全空圓路徑的發生,因 此  $I_1(n)=1$ , $\forall n \in N$ 。我們將這個結論寫成定理 6。



定理 6: 在 $\Delta_{n,1}$ 中, $I_1(n)=1$ 。

#### $(\Box) \ell = 2$

我們先針對較小的n值做嘗試,找出 $I_2(n)$ 值,整理於下表:

n	1	2	3	4	5	6	7	8	9	10	11	12	13	14	15	16
$J_1(n)$	1	2	2	3	3	3	3	4	4	4	4	4	4	4	4	5

由上表可以很輕易的觀察出規律,並得到  $I_2(n) = [\log_2 n] + 1$  的結果,這竟然和  $J_1(n)$  的公式是相同的。我們同樣可以「斜列防堵法」 建構出最佳日式三角形,圖 8 便是其中一個 7 階最佳日式三角形,其中第 7 列之最糟序列 為 (4,4,4,4,4,3)。



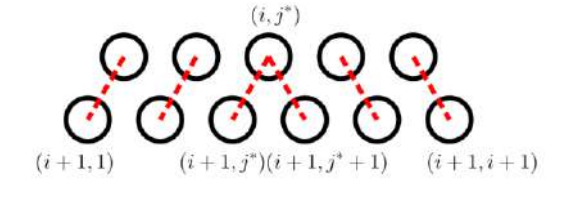
接下來,我們要來證明觀察出來的公式是正確的。

定理 7:在 
$$\Delta_{n,2}$$
 中,  $I_2(n) = [\log_2 n] + 1$ 。

#### 【證明】

$$\diamondsuit S_i = \sum_{i=1}^i g(i,j)$$
,即第  $i$  列之最糟序列總和。

$$\underline{\text{Claim1.}} \ \ S_{i+1} \leq 2 + S_i + \left\lceil \frac{S_i}{i} \right\rceil, \quad \forall i \in \mathbb{N}$$



*Proof.* 令第 i 列之最糟序列中最小值為  $g(i,j^*)$  ,顯然  $g(i,j^*) \leq \left\lceil \frac{S_i}{i} \right\rceil$  。

$$\mathbb{E}[S_{i+1}] = \sum_{j=1}^{i+1} g(i+1,j) = \sum_{j=1}^{j^*} g(i+1,j) + \sum_{j=j^*+1}^{i+1} g(i+1,j)$$

$$\leq 2 + \sum_{j=1}^{j^*} g(i,j) + \sum_{j=j^*}^{i} g(i,j) = 2 + S_i + g(i,j^*) \leq 2 + S_i + \left[\frac{S_i}{i}\right]$$

<u>Claim2.</u> 若 $n=2^{k-1}+r$ ,  $0 \le r \le 2^{k-1}-1$ ,則 $S_n \le nk+2r$ ,  $\forall n \in N$ 。

*Proof.* 當  $n=1=2^0+0$ ,即 k=1, r=0,  $S_1=1\leq 1\cdot 1+2\cdot 0$  原式成立

設 $n=2^{k-1}+r$ , $0 \le r \le 2^{k-1}-1$ 時,原式成立,即 $S_n \le nk+2r$ ,

$$\exists \iint \left[ \frac{S_n}{n} \right] \leq \left[ \frac{nk + 2r}{n} \right] = \left[ k + \frac{2r}{n} \right] = k$$

$$(\because 0 \le r \le 2^{k-1} - 1 \quad \therefore 0 \le 2r = r + r \le 2^{k-1} - 1 + r = n - 1 \Longrightarrow 0 \le \frac{2r}{n} < 1)$$

分成 2 種 case 考慮  $S_{n+1}$ :

$$S_{n+1} \le 2 + S_n + \left\lceil \frac{S_n}{n} \right\rceil \le 2 + nk + 2r + k = (n+1)k + 2(r+1)$$

(2) 當 
$$r = 2^{k-1} - 1$$
 時,  $n+1 = 2^k + 0$ 

$$S_{n+1} \le 2 + S_n + \left\lceil \frac{S_n}{n} \right\rceil \le 2 + nk + 2r + k = 2 + nk + 2^k - 2 + k = (n+1)(k+1)$$

(1)(2)皆成立 由數學歸納法得證

由 Claim2 知,  $g(n,j^*) \le \left\lceil \frac{S_n}{n} \right\rceil \le \left\lceil \frac{nk+2r}{n} \right\rceil = \left\lceil k + \frac{2r}{n} \right\rceil = k$ ,而我們確實可以「斜列防堵法」

建構出一個 
$$\Delta_{n,2}$$
 滿足  $g(n,j^*)=k$  ,故  $I_2(n)=k=\log_2(n-r)+1=\left[\log_2 n\right]+1$  。

#### $(\Xi)\ell\in N$

在 $\ell=2$ 的研究中,意外發現 $I_2(n)=J_1(n)$ ,那麼 $I_\ell(n)=J_{\ell-1}(n)$ 會成立嗎?可惜的是,答案是否定的,這引起我們的好奇心, $I_\ell(n)$ 的通式會是什麼呢?以下為我們的研究。

先來描述「平面斜列防堵法」的排列規則:

#### 平面斜列防堵法:

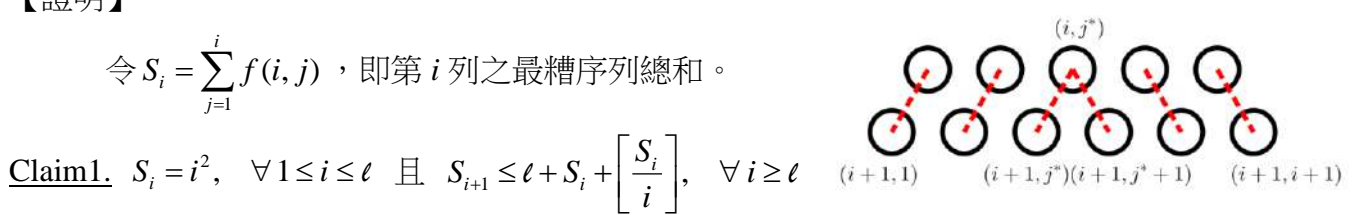
在 $\Delta_{n,\ell}$ 中,設第 i 列紅圓坐標為 $(i,j_s)$ , $1 \le s \le m_i$ ,其中  $m_i = \min\{i,\ell\}$ ,則第 i+1 列的紅圓坐標為 $(i+1,j_s')$ , $1 \le s \le m_{i+1}$ ,其中  $j_{m_i}+1 \equiv j_1' \pmod i$ , $1 \le j_1' \le i$  且  $j_1'+s-1 \equiv j_s' \pmod i+1$ ,  $1 \le j_s' \le i+1$ 。

定理 8:在
$$\Delta_{n,\ell}$$
中 $(\ell \ge 2)$ ,令數列 $\langle a_k \rangle$ 滿足 
$$\begin{cases} a_k = 1 + \left\lceil \sum_{i=1}^{k-1} a_i + \frac{(\ell-1)(\ell-2)}{2} \right\rceil, k \ge \ell+1 \\ a_1 = 1, a_2 = 2, \cdots, a_\ell = \ell \end{cases},$$
 若

$$a_k \leq n < a_{k+1}$$
 ,則  $I_{\ell}(n) = k$  。

### 【證明】

$$\diamondsuit S_i = \sum_{i=1}^i f(i,j)$$
,即第  $i$  列之最糟序列總和。



$$\underline{\text{Claim1.}} \ \ S_i = i^2, \quad \forall \ 1 \leq i \leq \ell \quad \underline{\square} \ \ S_{i+1} \leq \ell + S_i + \left[\frac{S_i}{i}\right], \quad \forall \ i \geq \ell$$

*Proof.* 顯然  $S_i = i^2$ ,  $\forall 1 \le i \le \ell$  是成立的,我們只需證明不等式中  $i \ge \ell$  的情形。

令第 i 列之最糟序列中最小值為  $g(i,j^*)$  ,顯然  $g(i,j^*) \leq \left| \frac{S_i}{i} \right|$  。

$$\begin{split} & \text{ for } S_{i+1} = \sum_{j=1}^{i+1} g(i+1,j) = \sum_{j=1}^{j^*} g(i+1,j) + \sum_{j=j^*+1}^{i+1} g(i+1,j) \\ & \leq \ell + \sum_{j=1}^{j^*} g(i,j) + \sum_{j=j^*}^{i} g(i,j) = \ell + S_i + g(i,j^*) \leq \ell + S_i + \left[ \frac{S_i}{i} \right] \end{split}$$

<u>Claim2.</u> 若  $n = a_k + r$  ,  $0 \le r \le a_{k+1} - a_k - 1$  ,  $k \ge \ell$  ,則

當 
$$a_1 + a_2 + \dots + a_{k-1} + \frac{(\ell-1)(\ell-2)}{2} \equiv t \pmod{\ell-1}, \ t = 1, 2, \dots, \ell-1, k \ge 2$$
 時,

$$S_n \le nk + \ell \cdot r + (\ell - 1 - t)$$

$$a_1 + a_2 + \dots + a_{\ell-1} + \frac{(\ell-1)(\ell-2)}{2} = 1 + 2 + \dots + (\ell-1) + \frac{(\ell-1)(\ell-2)}{2} = (\ell-1)^2 \equiv \ell - 1 \pmod{\ell-1}$$

$$S_{\ell} = \ell^2 \le \ell \cdot \ell + \ell \cdot 0 + (\ell - 1 - (\ell - 1)) = \ell^2$$
 原式成立

設
$$n = a_k + r$$
, $0 \le r \le a_{k+1} - a_k - 1$ , $k \ge \ell$  時,原式成立 即

當
$$a_1 + a_2 + \dots + a_{k-1} + \frac{(\ell-1)(\ell-2)}{2} \equiv t \pmod{\ell-1}$$
時, $S_n \le nk + \ell \cdot r + (\ell-1-t)$ ,

此時

$$a_{k+1} - a_k = \left(1 + \left[\frac{a_1 + a_2 + \dots + a_k + \frac{(\ell - 1)(\ell - 2)}{2}}{\ell - 1}\right]\right) - \left(1 + \left[\frac{a_1 + a_2 + \dots + a_{k-1} + \frac{(\ell - 1)(\ell - 2)}{2}}{\ell - 1}\right]\right)$$

$$= \left[\frac{a_k + (t - 1)}{\ell - 1}\right]$$

$$\operatorname{Ell}\left[\frac{S_n}{n}\right] \leq \left[\frac{nk + \ell \cdot r + (\ell - 1 - t)}{n}\right] = \left[k + \frac{\ell \cdot r + (\ell - 1 - t)}{n}\right] = k$$

上式原因如下:

$$\because 0 \le r \le \left\lceil \frac{a_k + (t-1)}{\ell - 1} \right\rceil - 1$$

$$\therefore \ell - 1 - t \le \ell \cdot r + (\ell - 1 - t) = (\ell - 1) \cdot r + (\ell - 1 - t) + r \le (\ell - 1) \cdot \left(\left[\frac{a_k + (t - 1)}{\ell - 1}\right] - 1\right) + (\ell - 1 - t) + r$$

$$\le (\ell - 1) \cdot \frac{a_k + (t - 1)}{\ell - 1} - t + r = a_k - 1 + r = n - 1 \Rightarrow 0 \le \frac{\ell \cdot r + (\ell - 1 - t)}{n} < 1$$

分成 2 種 case 考慮  $S_{n+1}$ :

(a) 
$$\stackrel{\text{dis}}{\boxplus} 0 \le r \le a_{k+1} - a_k - 2 = \left[\frac{a_k + (t-1)}{t-1}\right] - 2 \stackrel{\text{lift}}{\boxplus} \cdot n + 1 = a_k + (r+1) \cdot \frac{1}{t-1} \cdot \frac$$

(a)(b)皆成立 由數學歸納法得證

由 Claim1、Claim2 知,若 
$$1 \le n < \ell$$
,  $g(n, j^*) \le \left[\frac{S_n}{n}\right] = \left[\frac{n^2}{n}\right] = n = a_n$ ,若  $n = a_k + r$ , $0 \le r \le a_{k+1} - a_k - 1$ , $k \ge \ell$ ,

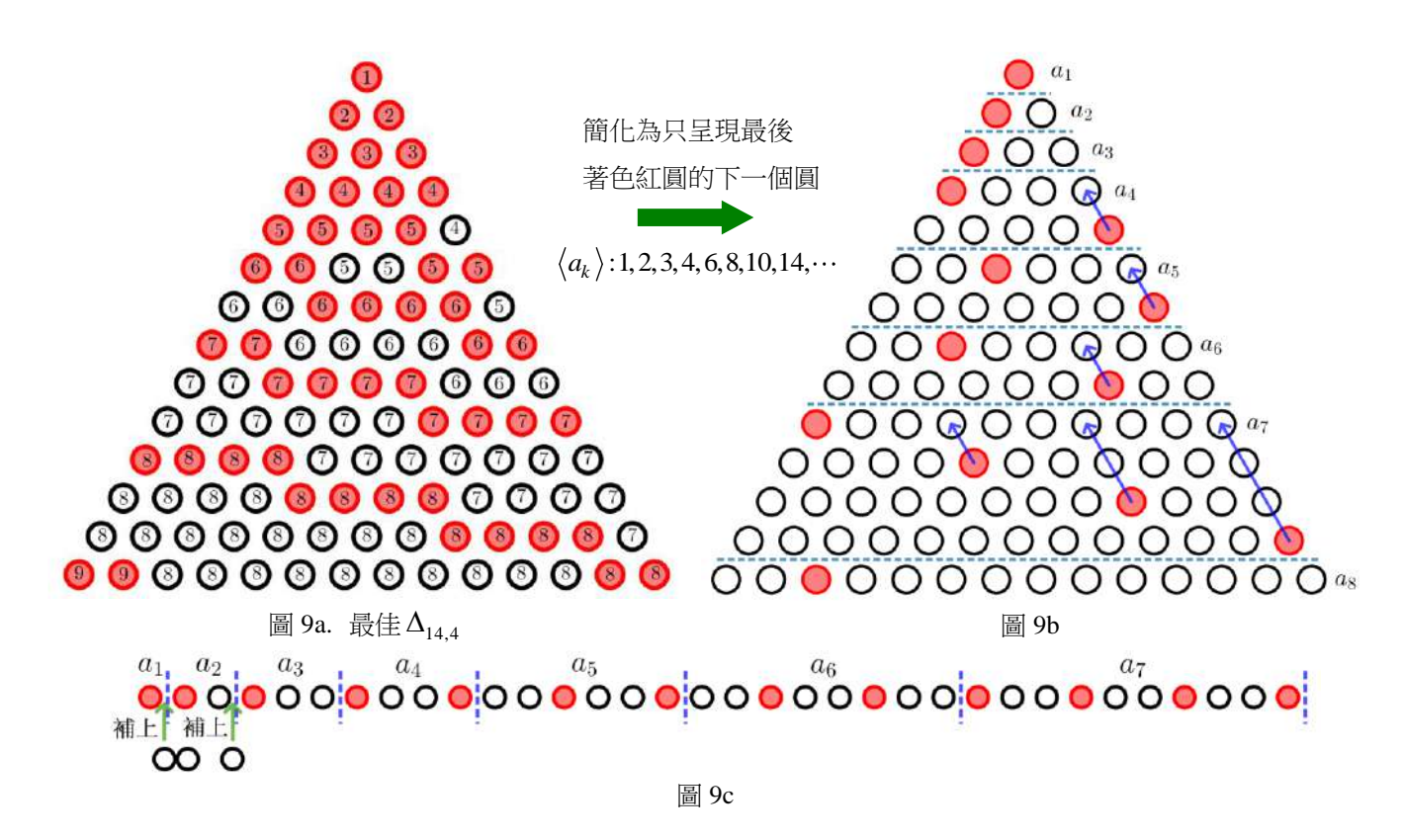
$$g(n,j^*) \le \left[\frac{S_n}{n}\right] \le \left[\frac{nk + \ell \cdot r + (\ell - 1 - t)}{n}\right] = \left[k + \frac{\ell \cdot r + (\ell - 1 - t)}{n}\right] = k$$
。而我們確實可以

「斜列防堵法」建構出一個 $\Delta_{n,\ell}$ 滿足 $g(n,j^*)=k$ ,因此若 $a_k \leq n < a_{k+1}$ ,則 $I_{\ell}(n)=k$ 。

<u>問題</u>:定理 8 中的數列 $\langle a_k \rangle$ 之遞迴關係式如何得知?

分析:以圖 9a 做說明,它是一個以「斜列防堵法」建構出的最佳  $\Delta_{14,4}$ ,其第  $a_k \sim (a_{k+1}-1)$  列 的最糟序列之最小值均為 k。將圖 9b 中第  $a_1$ , $a_2$ , $a_3$ , $a_4$ , $a_5$ , $a_6$ , $a_7$ 列取出排成一列於 圖 9c,並如圖 9b 所示補上紅圓,同時第  $a_1$ , $a_2$ 列須再分別補上 2 個與 1 個空圓,因 此整列圓中共有  $\left[\frac{a_1+\dots+a_7+(1+2)}{3}\right]$  個紅圓,又一列恰一個紅圓,即第  $a_8$ 列前共有  $\left[\frac{a_1+\dots+a_7+(1+2)}{3}\right]$  列,因此  $a_8=1+\left[\frac{a_1+\dots+a_7+(1+2)}{3}\right]$ 。同理在最佳  $\Delta_{n,\ell}$ 中,取出的

第 
$$a_1 \sim a_{\ell-2}$$
列的圓必須要補上 $1+2+\cdots+(\ell-2)$ 個,因此  $a_k=1+\left\lceil \sum_{i=1}^{k-1} a_i + \frac{(\ell-1)(\ell-2)}{2} \atop \ell-1 \right\rceil$ 。



## $\mathbf{G}$ 研究三: $\Delta *_{n,\iota}$ 之最佳路徑最小化問題

在研究一與研究二中,我們已經將平面日式三角形的一般化情形全部解決,接著,便是要挑戰推廣至空間三角垛的情形,為了以下研究需要,我們再補充幾個名詞與符號定義。

# **名詞與符號定義**(研究三)

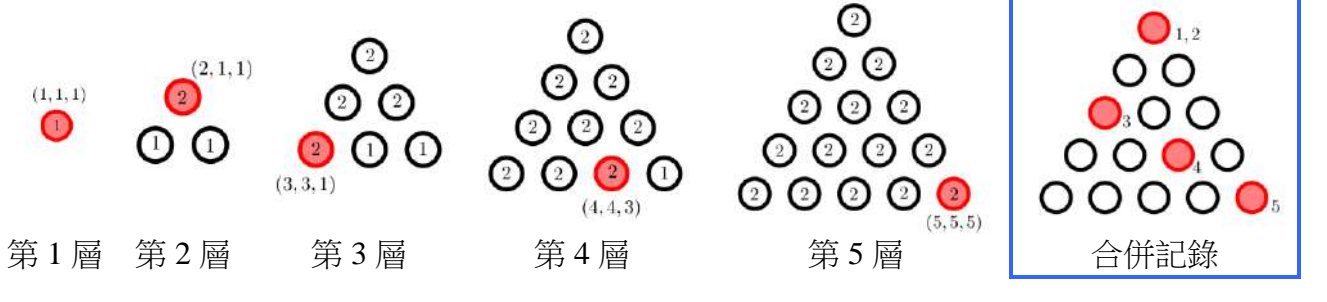
(一) 
$$n$$
 階  $\ell$  型日式三角垛(記作  $\Delta^*_{n,\ell}$ ):將 $1+(1+2)+(1+2+3)+\cdots(1+2+\cdots+n)$  個球排成正三角垛的形狀,使得對所有  $i=1,2,\cdots,n$ ,由上往下數的第  $i$  層有  $(1+2+\cdots+i)$  個球,且第  $i$  層塗成紅色的球數為  $\min\left\{\frac{i(i+1)}{2},\ell\right\}$ 。

- (二)忍者路徑:一條路徑通過日式三角垛中最上層到最下層的球,其中每個球連到其下一層 與之相鄰的三球之一。
- (三)最佳路徑:通過最多紅球數的忍者路徑。
- (四)最糟日式三角垛:由最上層到最下層,最佳路徑所通過的紅球數為最小的日式三角垛。
- $(\Xi)J_{\iota}^{*}(n):n$ 階  $\ell$ 型最糟日式三角垛中,由最上層到最下層,其最佳路徑所通過的紅球數。
- (六)(i,j,k):日式三角垛中,由上往下數的第i 層的三角形中,由頂點往底邊數的第j 列,再由左往右數的第k 個紅球之坐標。
- (七) f(i, j, k):由(1,1,1)至(i, j, k)的最佳路徑所通過的紅球數。

(八)第
$$i$$
 層之最佳陣列:
$$\begin{pmatrix} f(i,1,1) \\ f(i,2,1) & f(i,2,2) \\ f(i,3,1) & f(i,3,2) & f(i,3,3) \\ \vdots \\ f(i,i,1) & f(i,i,2) & \cdots & f(i,i,i) \end{pmatrix}$$

(九)最佳陣列之次狀態陣列:給定一最佳陣列  $\begin{pmatrix} f(i,1,1) \\ f(i,2,1) & f(i,2,2) \\ f(i,3,1) & f(i,3,2) & f(i,3,3) \\ \vdots \\ f(i,i,1) & f(i,i,2) & \cdots & f(i,i,i) \end{pmatrix}$ ,則其

(+) $\Delta *_{n,\ell}$ 記錄方式:(圓中數字代表 f(i,j,k))



我們將 $\Delta^*_{n,\ell}$ 中f(i,j,k)的求值規則整理於下:

$$\Delta^*_{n,t} \oplus f(i,j,k)$$
的求值規則:
$$\begin{cases} f(i-1,j,k)+c, & j=k=1\\ f(i-1,j-1,k)+c, & j=i,k=1\\ f(i-1,j-1,k-1)+c, & j=k=i\\ \end{cases}$$

$$f(i,j,k) = \begin{cases} Max\{f(i-1,j-1,k),f(i-1,j,k)\}+c, & 2\leq j\leq i-1,k=1\\ Max\{f(i-1,j-1,k-1),f(i-1,j-1,k)\}+c, & 2\leq j=k\leq i-1\\ Max\{f(i-1,j-1,k-1),f(i-1,j-1,k)\}+c, & j=i,2\leq k\leq i-1\\ Max\{f(i-1,j-1,k-1),f(i-1,j-1,k),f(i-1,j,k)\}+c,2\leq k< j\leq i-1 \end{cases}$$
其中當 $(i,j,k)$ 為紅球時 $c=1$ ,反之 $c=0$ 。

由以上求值規則可得到以下性質:

性質 9:在  $\Delta *_{n,\ell}$  中,第 i 層最佳陣列總和=第(i-1)層最佳陣列之次狀態陣列總和+ $\ell$ 。

 $(--)\ell=1$ 

先針對較小的n值做嘗試,找出 $J_1*(n)$ 值,整理於下表:

n	1	2	3	4	5	6	7	8	9	10	11	12		 125	126
$J_1^*(n)$	1	2	2	2	2	3	3	3	3	3	3	3		 3	4
n	127	•••	•••	2127	-3	2127	-2			$2^{2^{127}}$	$^{-1} - 3$	22127	$^{-1}$ $-2$	 	
$J_1^*(n)$	4	•••	•••	4	4		5				5		6	 	

類似於平面 $\Delta_{n,l}$ ,我們可以「空間斜列錯開法」建構出最糟日式三角垛(如圖 10),其排列原則為每一層的紅球位置盡量錯開上一層紅球下方相鄰的三球,即若(i,j,k)為紅球,則(i+1,j',k')亦

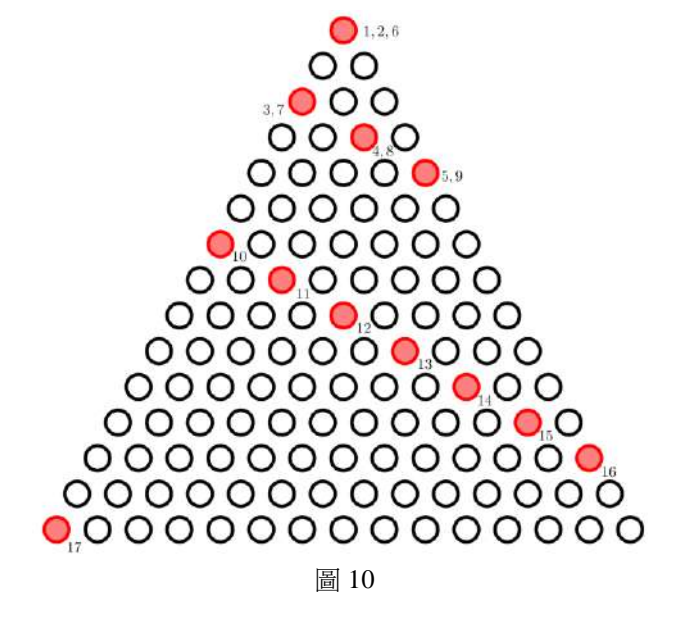
為紅球,其中
$$k+2\equiv k'\pmod{j+1},\ 1\leq k'\leq j+1$$
、  $j+1+\left\lceil\frac{k+1}{j+1}\right\rceil\equiv j'\pmod{i+1},\ 1\leq j'\leq i+1$  。

此外, $J_1*(n)$  值增加的速度極為緩慢,和

# **計算機科學中常見的迭代對數**[4]特性很

像,因此我們猜測它的公式的表示會類似 於迭代對數。然而,在處理空間中三角垛 的問題時,想要用代數的方法去處理證明 是極繁瑣的,因此本作品我們選擇以較為 直觀的方法證明我們的研究結果,也就是 說,我們要說明「空間斜列錯開法」確實 可建構出最糟日式三角垛(不會再更糟

了),接著再針對這樣的排列法找出 $J_1*(n)$ 的通式。



下表 11 為以「空間斜列錯開法」排列的 $\Delta^*_{n,1}$ 每層紅球座標以及該層最佳陣列之最大值 k。

k	_ 1	2			3			4
X	$a_1$	(3,3,1) (4,4,3) (5,5,5)	(6),1) (7,3,1) (8,4,3) (9,5,5) (10,7,1)	(30,28,27) (31,29,29) (32,31,1) (33,32,3) (34,33,5)	(54,53,45) (55,54,47) (56,55,49) (57,56,51) (58,57,53) (59,58,55)	(78,78,31) (79,79,33) (80,80,35) (81,81,37) (82,82,39) (83,83,41)	(102,102,79) (103,103,81) (104,104,83) (105,105,85) (106,106,87) (107,107,89)	a <sub>4</sub> (126)1,1)
紅 球 座 標			(11,8,3) (12,9,5) (13,10,7) (14,11,9) (15,12,11) (16,13,13) (17,15,1) (18,16,3) (19,17,5) (20,18,7) (21,19,9) (22,20,11) (23,21,13) (24,22,15) (25,23,17) (26,24,19) (27,25,21) (28,26,23) (29,27,25)	(35,34,7) (36,35,9) (37,36,11) (38,37,13) (39,38,15) (40,39,17) (41,40,19) (42,41,21) (43,42,23) (44,43,25) (45,44,27) (46,45,29) (47,46,31) (48,47,33) (49,48,35) (50,49,37) (51,50,39) (52,51,41) (53,52,43)	(39,58,55) (60,59,57) (61,60,59) (62,61,61) (63,63,1) (64,64,3) (65,65,5) (66,66,7) (67,67,9) (68,68,11) (69,69,13) (70,70,15) (71,71,17) (72,72,19) (73,73,21) (74,74,23) (75,75,25) (76,76,27) (77,77,29)	(84,84,43) (85,85,45) (86,86,47) (87,87,49) (88,88,51) (89,89,53) (90,90,55) (91,91,57) (92,92,59) (93,93,61) (94,94,63) (95,95,65) (96,96,67) (97,97,69) (98,98,71) (99,99,73) (100,100,75)	(107,107,89) (108,108,91) (109,109,93) (110,110,95) (111,111,97) (112,112,99) (113,113,101) (114,114,103) (115,115,105) (116,116,107) (117,117,109) (118,118,111) (119,119,113) (120,120,115) (121,121,117) (122,122,119) (123,123,121) (124,124,123) (125,125,125)	

表 11

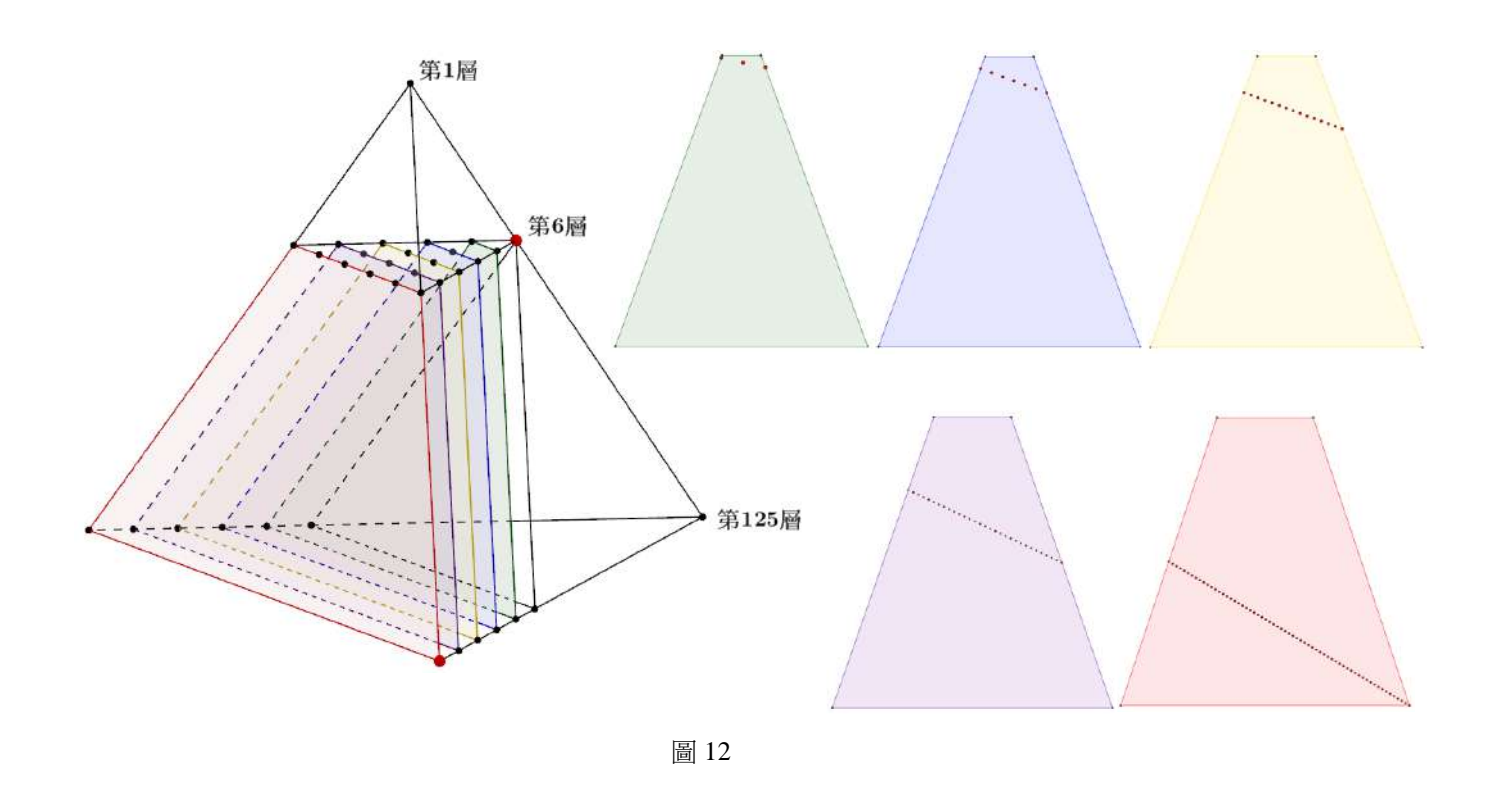


圖 12 為以「空間斜列錯開法」排列的  $\Delta^*_{n,1}$  之立體示意圖。其中第 6 層至第 125 層的紅球**彼** 此之間均不存在任何忍者路徑。第 5 層最佳陣列所有數均為 2,即  $J_1*(5)=2$ ,當  $6 \le n \le 125$  時,  $J_1*(n)=3$ ,而第 125 層最佳陣列所有數均為 3,也就是說,  $J_1*(126)=4$ 。

接下來我們要證明這個 $\Delta^*_{n,1}$ 是最糟日式三角垛,並且推導出 $J_1^*(n)$ 的通式。

定理 
$$10$$
: 在 $\Delta^*_{n,1}$ 中,定義  $\log^{[3]}(n)$ 滿足  $\log^{[3]}(n) = \begin{cases} 0 & ,n < 1 \\ 1 + \log^{[3]}(\log_2(n+2) - 1), n \ge 1 \end{cases}$ ,則

#### 【證明】

$$\diamondsuit S_i = \sum_{1 \leq k \leq j \leq i} f(i,j,k)$$
,即第  $i$  層之最佳陣列總和。

<u>Claim1.</u> 若將第 i 層之最佳陣列中的數由大至小排序得到  $a_1 \ge a_2 \ge \cdots \ge a_{\underline{i(i+1)}}$ ,則

$$S_{i+1} \ge 1 + S_i + a_1 + (a_1 + a_2 + a_4 + \dots + a_{\frac{i^2 - i + 2}{2}}), \quad \forall i \in \mathbb{N}$$

Proof. 註:圖 13a~13f 紅圓代表第i 層的最佳陣列,藍點代表其次狀態陣列。

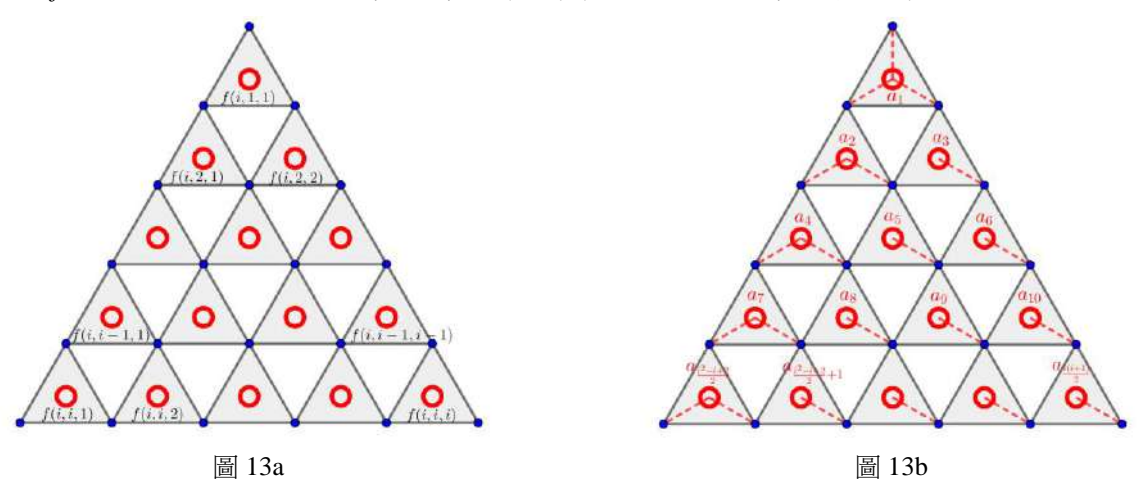
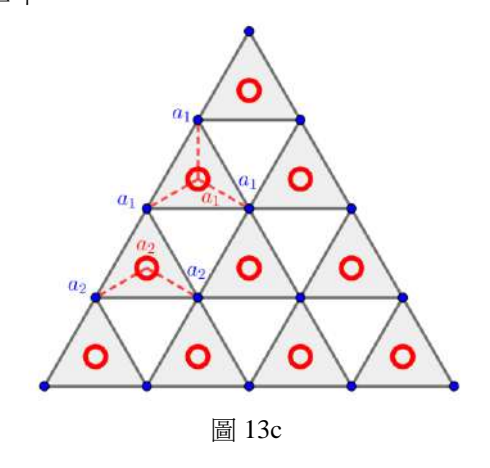
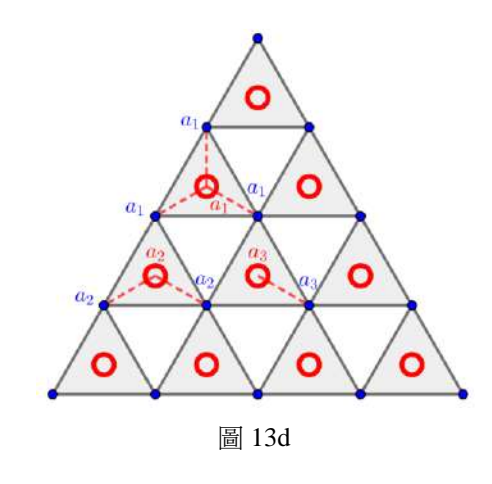


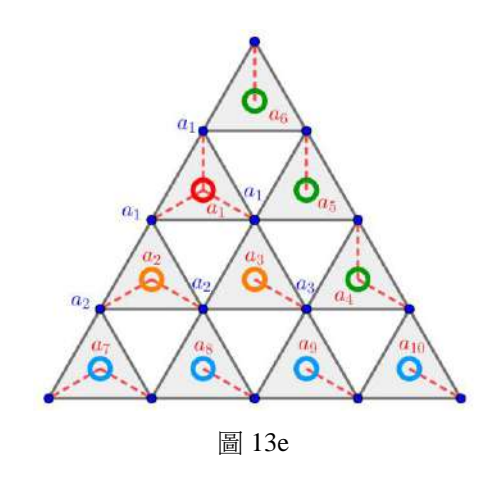
圖 13a 為第 i 層原始最佳陣列,圖 13b 為第 i 層原始最佳陣列重新排序後的新陣列,則

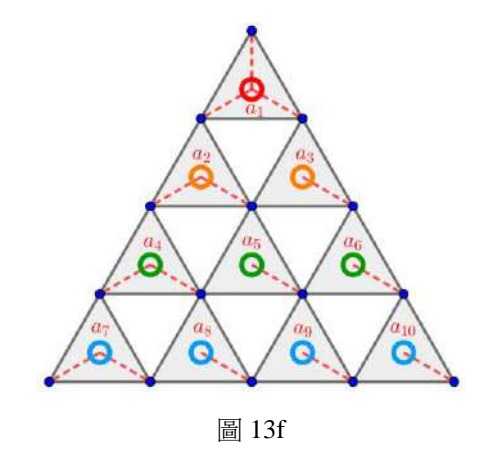
原因如下:





(1)最佳置放: 若每一個數都盡量緊靠著排序在前方的數置放,所能控制的藍點數會最小。 (如圖 13c 中  $a_1 \sim a_2$  共控制 5 個藍點,圖 13d 中  $a_1 \sim a_3$  共控制 6 個藍點,依此類推。值 得注意的是,最佳置放的方法非唯一,比如以圖 13e 或圖 13f 次序擺入皆為最佳置放。)





(2)**一路領先**:當 $a_1 \sim a_{\underline{i(i+1)}}$  以最佳置放模式依序擺放時,對於任意自然數t , $a_1 \sim a_t$ 所控

制的藍點數值總和必小於等於任意置放時所控制的藍點數值總和。

*Proof.* 觀察  $a_1 \sim a_t$  以最佳置放與任意置放時所控制的藍點數值形成的數列(由大至小):

最佳置放: $\langle b_n \rangle$ : $a_1, a_1, a_1, a_2, a_2, a_3, a_4, a_4, a_5, a_6, \dots, a_t$ 

任意置放: $\langle b_{\tt n}' \rangle$ : $a_1,a_1,a_2,\cdots$  ....., $a_t$ 

曲性質(1)知, $m_t \leq m_{t'}$ ,  $\forall t \in N$ ,可推得 $b_i \leq b_{i'}$ ,  $\forall i \in N \Rightarrow \sum_{i=1}^{m_t} b_i \leq \sum_{i=1}^{m_t} b_{i'} \leq \sum_{i=1}^{m_{t'}} b_{i'}$ ,  $\forall t \in N$ 。

由以上可知,第i 層最佳陣列的次狀態陣列總和必大於等於其重新以最佳置放排序後新陣列的次狀態陣列總和,可得  $S_{i+1} = \sum_{1 \leq k \leq j \leq i+1} f(i+1,j,k) \geq 1 + S_i + a_1 + (a_1 + a_2 + a_4 + \cdots + a_{\frac{j^2 - i + 2}{2}})$ 。

(重新排序後的新陣列的次狀態陣列總和為 $(a_1 + a_2 + \cdots + a_{\frac{i(i+1)}{2}}) + 2a_1 + a_2 + a_4 + \cdots + a_{\frac{i^2 - i + 2}{2}})$ 

 $\underline{\text{Claim2.}}$  以「空間斜列錯開法」排列的 $\Delta^*_{n,l}$ 為最糟日式三角垛。

*Proof.* 由 Claim1 的證明過程知,當  $S_i$ 已知且第 i 層最佳陣列為相同分割  $\left\{a_1,a_2,\cdots,a_{\frac{i(i+1)}{2}}\right\}$ 

,其中  $a_1 \geq a_2 \geq \cdots \geq a_{\frac{i(i+1)}{2}}$ ,若最佳陣列為依照大至小由第 1 列至第 i 列的次序排列時,其次狀態陣列的總和為最小,此時  $S_{i+1} = 1 + S_i + a_1 + (a_1 + a_2 + a_4 + \cdots + a_{\frac{i^2 - i + 2}{2}})$ ,又  $S_i$  为定值,因此,當  $a_1$ , $a_2$ , $a_4$ ,…, $a_{\frac{i^2 - i + 2}{2}}$  只由  $\left[\frac{S_i}{\frac{i(i+1)}{2}}\right]$  與  $\left(\left[\frac{S_i}{\frac{i(i+1)}{2}}\right] - 1\right)$  組成時,  $S_{i+1}$  能達到最小值。而第 i+1 層之最佳陣列為只由  $\left[\frac{S_{i+1}}{\frac{(i+1)(i+2)}{2}}\right]$  與  $\left(\left[\frac{S_{i+1}}{\frac{(i+1)(i+2)}{2}}\right] - 1\right)$  组成的分布時,由第 1 層至第 i+1 層的最佳路徑所通過的紅球數為  $\left[\frac{S_{i+1}}{\frac{(i+1)(i+2)}{2}}\right]$ ,且不可能再少了!顯然,以「空間斜列錯開法」排列的  $\Delta *_{n,1}$  完全符合以上條件,即為最糟日式三角垛。

Proof. 由 Caim2 可知,以「空間斜列錯開法」排列的  $\Delta^*_{n,1}$  為最糟日式三角垛,因此我們可以針對這個排列法去求  $J_1^*(n)$  值。

由 Caim3 可知  $a_k = 2^{a_{k-1}+1} - 2 \Rightarrow a_{k-1} = \log_2(a_k+2) - 1$ ,定義  $\log^{[3]}(n)$  滿足遞迴關係

$$\log^{[3]}(n) = \begin{cases} 0 & , n < 1 \\ 1 + \log^{[3]}(\log_2(n+2) - 1), n \ge 1 \end{cases}, \quad \exists \exists J_1 * (n) = \log^{[3]}(n) \circ \blacksquare$$

# $\log^{[3]}(n)$ 的涵義n可以執行幾次「m 2後取以 2 為底的對數值再減 1」的運算後小於 1。

圖 14 為函數  $y = \log_2(x+2) - 1$  的圖形,以 n = 10 為例,  $\log_2(10+2) - 1 = a$  ,  $\log_2(a+2) - 1 = b$  、  $\log_2(b+2) - 1 = c < 1$  ,共執行 3 次運算(3 次迭代),因此  $\log^{[3]}(10) = 3$  ,即  $J_1*(10) = 3$  。

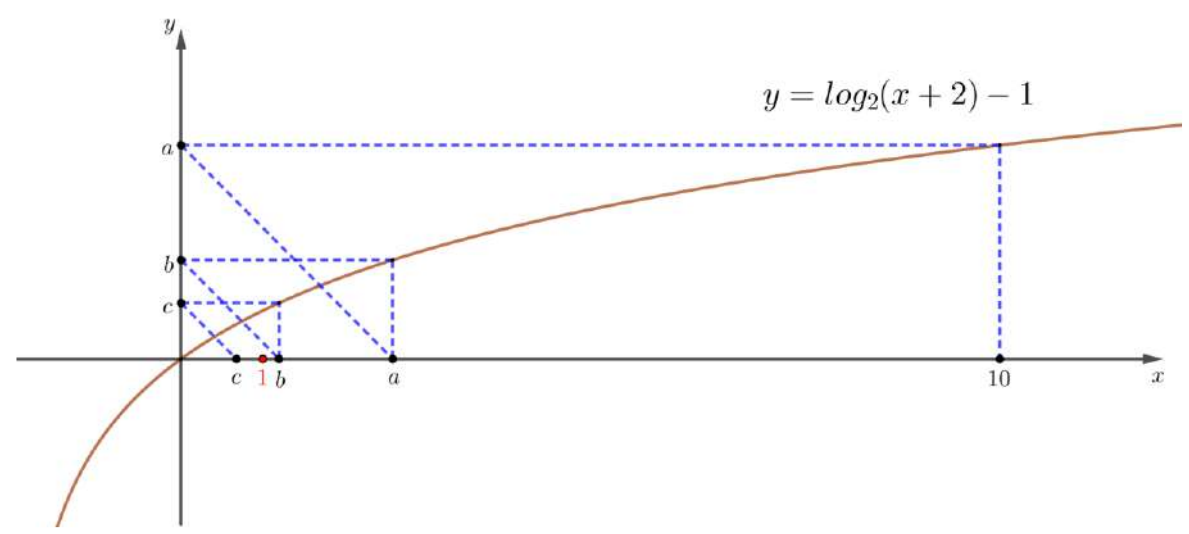


圖 14. log<sup>[3]</sup>(n) 的迭代過程

#### $(\underline{\phantom{a}}) \ell = 2$

首先,先針對較小的n值做嘗試,找出 $J_2*(n)$ 值,整理於下表:

n	1	2	3	4	5	6	7	8	9	10	11	12	 	66	67
$J_2*(n)$	1	2	3	3	3	3	3	4	4	4	4	4	 	4	5

同理 $\Delta^*_{n,1}$ 的情形,我們可以「空間斜列錯開法」建構最糟 $\Delta^*_{n,2}$ ,並求得 $J_2^*(n)$ 的通式。

k	_1	2	_ 3	_	4	ļ		5
	$a_1$ (1)1,1)	$a_{2}^{(2)}(2,1)$	$a_{3}(3)_{1,1}$	<i>a</i> <sub>4</sub> ((8)2,1)	(23,21,8)	(38,37,25)	(53,53,26)	<i>a</i> <sub>5</sub> (67,1,1)
	<i>c</i> <sub>1</sub> –	$\alpha_2$	(4,3,2)	(9,4,1)	(24,22,11)	(39,38,28)	(54,54,29)	(68,3,2)
			(5,5,1)	(10,5,4)	(25,23,14)	(40,39,31)	(55,55,32)	(69,5,1)
紅			(6,6,4)	(11.7.1)	(26,24,17)	(41,40,34)	(56,56,35)	(70,6,4)
WT-			(7,7,7)	(11,7,1)	(27,25,20)	(42,41,37)	(57,57,38)	(71,7,7)
				(12,8,4)	(28,26,23)	(43,42,40)	(58,58,41)	(72,9,2)
球				(13,9,7)	(29,27,26)	(44,43,43)	(59,59,44)	(73,10,5)
				(14,10,10)			(60,60,47)	
				(15,12,2)	(30,29,1)	(45,45,2)	(61,61,50)	(74,11,8)
座				(16,13,5)	(31,30,4)	(46,46,5)	(62,62,53)	(75,12,11)
				(17,14,8)	(32,31,7)	(47,47,8)	(63,63,56)	(76,14,1)
4-1111				(18,15,11)	(33,32,10)	(48,48,11)	(64,64,59)	:
標				(19,16,14)	(34,33,13)	(49,49,14)	(65,65,62)	
				(20,17,17)	(35,34,16)	(50,50,17)	(66,66,65)	
				(21,19,2)	(36,35,19)	(51,51,20)	` ' ' '	
				(22,20,5)	(37,36,22)	(52,52,23)		

表 15. 「空間斜列錯開法」排列的  $\Delta *_{n,2}$  每層最後著色紅球座標以及該層最佳陣列之最大值 k

我們將公式推導結果寫成定理 11:(詳細證明於研究日誌)

定理 
$$11$$
: 在  $\Delta^*_{n,2}$  中,數列  $\langle a_k \rangle$  滿足 
$$\begin{cases} a_k = a_{k-1} + \left[ \frac{\sum_{i=1}^{a_{k-1} - b_{k-1} + 1} r_i^{(b_{k-1})}}{2} \right], k \geq 2, \quad \text{ if } a_k \leq n < a_{k+1}, \quad \text{ if } J_2^*(n) = k \end{cases}$$
 其中  $b_k = \begin{cases} 1, 當 \sum_{i=1}^{a_{k-1} - b_{k-1} + 1} r_i^{(b_{k-1})} 為偶數 \\ 2, 當 \sum_{i=1}^{a_{k-1} - b_{k-1} + 1} r_i^{(b_{k-1})} 為奇數 \end{cases}$ ,數列  $\langle r_i^{(s)} \rangle$  滿足 
$$\begin{cases} r_i^{(s)} = t + (s-1) + \left[ \frac{\sum_{i=1}^{t-1} r_i^{(s)}}{2} \right], t \geq 2, s = 1, 2 \end{cases}$$

由表 15 知,第 $a_k$  層紅球座標可能為 $(a_k,1,1)$ 或 $(a_k,2,1)$ ,因此其公式需透過 2 個相異 $b_k$  值與 2 個相異數列 $\left\langle r_i^{(s)} \right\rangle$ 來表示,且當 $\ell$  越來越大時,其紅球座標更難由簡易的遞迴關係式來表示,而是須透過<u>多重的迭代過程</u>才能決定,因此我們評估,將 $J_{\ell}*(n)$ 表示成通式的數學價值已不足夠,若是可以設計出一套迭代演算法,配合電腦程式設計,即可有效率的求出 $J_{\ell}*(n)$ 。

#### $(\equiv) \ell \in N$

當 $\ell=1,2$ 時,我們證明了「空間斜列錯開法」確實可排列出最糟日式三角垛,這個結論 在 $\ell\in N$  當然也會成立。以下我們先定義「空間斜列錯開法」的紅球坐標表示,其排列原則是 每一層的紅球位置盡量錯開上一層紅球下方相鄰的三球。

#### 空間斜列錯開法

在  $\Delta^*_{n,\ell}$  中,設第 i 層紅球座標依序為  $(i,j_s,k_s)$  ,  $1 \le s \le m_i$  ,其中  $m_i = \min \left\{ \frac{i(i+1)}{2}, \ell \right\}$  。

 $\diamondsuit$ (i',  $j_s$ ',  $k_s$ ') = (i + 1,  $j_{m_i}$  + 1,  $k_{m_i}$  + s + 1),  $1 \le s \le m_{i+1}$ , 進行以下迭代步驟,

(1)當 $i' < j_s'$ 時, $(i',j_s',k_s') \Rightarrow (i',j_s'-i',k_s')$ 再執行步驟(2)。否則直接步驟(2)。

(2)當 $j_s$ '< $k_s$ '時, $(i', j_s', k_s')$ ⇒ $(i', j_s'+1, k_s'-j_s')$ 回步驟(1)。

重複進行(1)(2)至 $i' \ge j_s' \ge k_s'$ 為止。此時 $(i',j_s',k_s')$ ,  $1 \le s \le m_{i+1}$ 為第i+1 層的紅球坐標。

定理 12: 以「空間斜列錯開法」排列的 $\Delta^*_{n,\iota}$  為最糟日式三角垛。

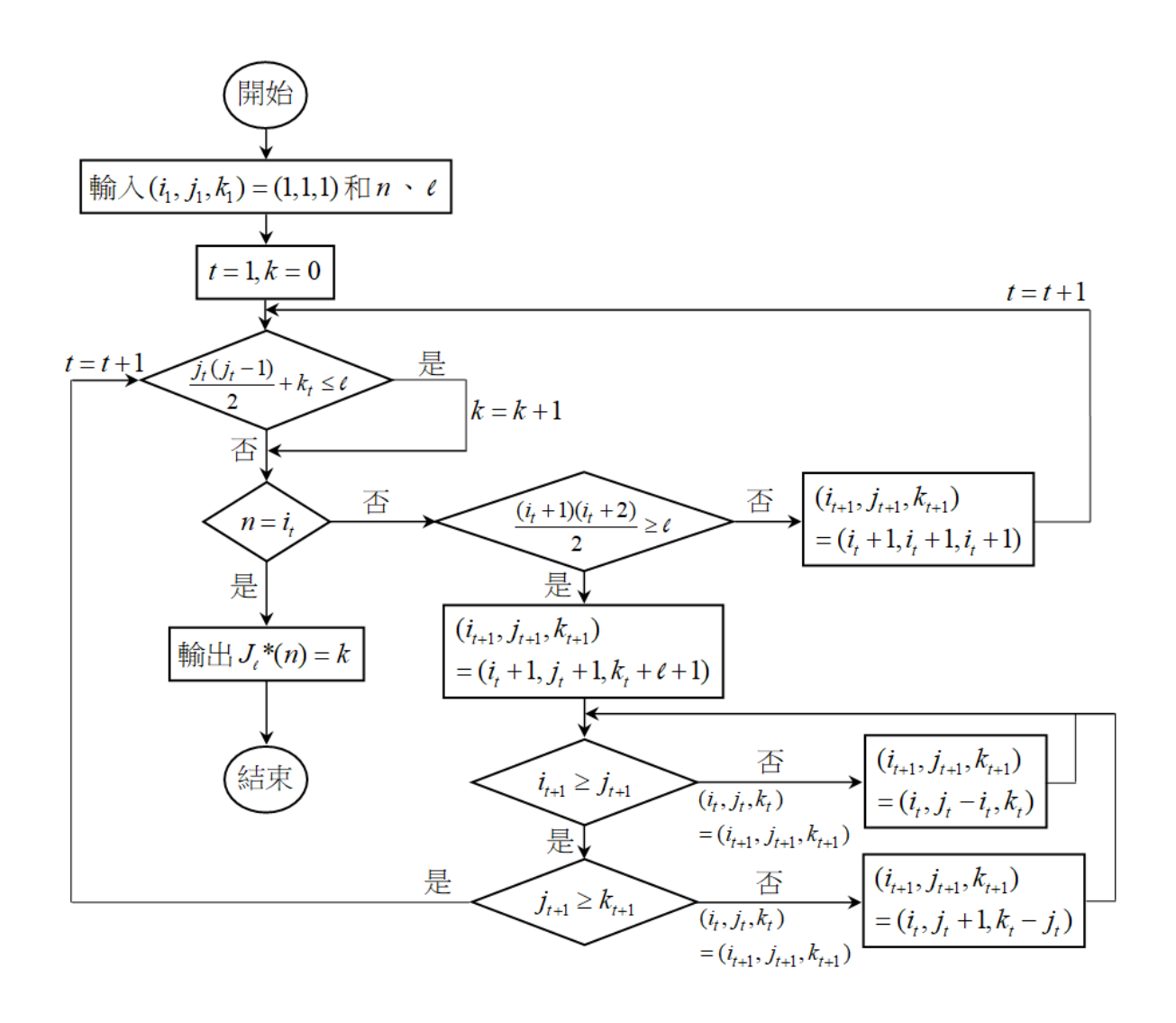
【證明】同理定理 10 中 Caim1、Caim2 之證明可得證。(詳細證明於研究日誌)

#### 【求J,\*(n)之演算法】

給定 $n \cdot \ell$ ,由第 1 層紅球座標(1,1,1)開始,利用上述「空間斜列錯開法」之迭代過程,可以 決定第i層的 $m_i$ 個紅球坐標分別為 $(i,j_s,k_s)$ , $1 \le s \le m_i$ ,考慮 $s = m_i$ ,即第i層的第 $m_i$ 個著色的

球坐標 
$$(i, j_{m_i}, k_{m_i})$$
 ,則  $J_{\ell}^*(i) = \begin{cases} J_{\ell}^*(i-1) + 1, \\ \\ \\ J_{\ell}^*(i-1) \end{cases} + k_{m_i} \leq \ell$  , $i \geq 2$  ,其中  $J_{\ell}^*(1) = 1$  。進行以  $J_{\ell}^*(i-1)$  ,當  $\frac{j_{m_i}(j_{m_i}-1)}{2} + k_{m_i} > \ell$ 

上迭代關係式後即可求得 $J_{*}(n)$ 。(程式碼於附錄)



### 以下為電腦程式跑出來的部分結果:

$\ell$	1	2	3	4	5	6	7	8
$a_1$	1	1	1	1	1	1	1	1
$a_2$	2	2	2	2	2	2	2	2
$a_3$	6	3	3	3	3	3	3	3
$a_4$	126	8	5	4	4	4	4	4
$a_5$	÷	67	12	7	6	5	5	5
$a_6$	÷	1991116568762	132	20	12	9	8	7
$a_7$	÷	i i	:	429	46	21	14	11
$a_8$	÷	÷.	:	÷	24718	174	45	25
$a_9$	÷	<b>:</b>	:	÷	:	÷	3169	161
$a_{10}$	÷	<b>:</b>	:	÷	:	÷	÷	1490886909

表 16. 若  $a_k \leq n < a_{k+1}$ ,則  $J_{\ell}*(n) = k$ 。

## 研究四: $\Delta *_{n,\ell}$ 之最糟路徑最大化問題

研究四中,我們將問題改成:「找出 k 的最小值,保證在每一個日式三角形垛中,有一條包含至多 k 個紅色球的忍者路徑。」為了研究需要,補充幾個名詞與符號定義於下:

## 名詞與符號定義 (研究四)

- (一)最糟路徑:通過最少紅球數的忍者路徑。
- (二)最佳日式三角垛:由最上層到最下層,最糟路徑所通過的紅球數為最大的日式三角垛。
- $(\Xi)I_{\iota}^{*}(n): n$  階  $\ell$  型最佳日式三角垛中,由最上層到最下層,其最糟路徑所通過的紅球數。 (四)  $g(i,j,k): \text{由}(1,1,1) \, \Xi(i,j,k)$  的最糟路徑所通過的紅球數。

(五)第
$$i$$
 層之最糟陣列:
$$\begin{pmatrix} g(i,1,1) \\ g(i,2,1) & g(i,2,2) \\ g(i,3,1) & g(i,3,2) & g(i,3,3) \\ \vdots & & & & & \\ g(i,i,1) & g(i,i,2) & \cdots & \cdots & g(i,i,i) \end{pmatrix}$$

(六)最糟陣列之次狀態陣列:給定一最糟陣列 
$$\begin{pmatrix} g(i,1,1) \\ g(i,2,1) & g(i,2,2) \\ g(i,3,1) & g(i,3,2) & g(i,3,3) \\ \vdots & & & & & \\ g(i,i,1) & g(i,i,2) & \cdots & g(i,i,i) \end{pmatrix}$$
,則其

我們將 $\Delta^*_{n,\ell}$ 中g(i,j,k)的求值規則整理於下:

## 

由以上求值規則可得到以下性質:

性質 13:在 $\Delta^*_{n,\ell}$ 中,第i 層最糟陣列總和=第(i-1)層最糟陣列之次狀態陣列總和+ $\ell$ 。

當 $\ell=1$ 或 $\ell=2$ 時, $I_1*(n)=I_2*(n)=1$ 是顯然成立的,因為每顆球的下層均連接 3 顆球,當每層的紅球數小於 3 時,除了第一層起始紅球外,**必存在一條忍者路徑完全不再經過其他紅球即可到達最下層**。我們將此結論寫成定理 14 和定理 15。

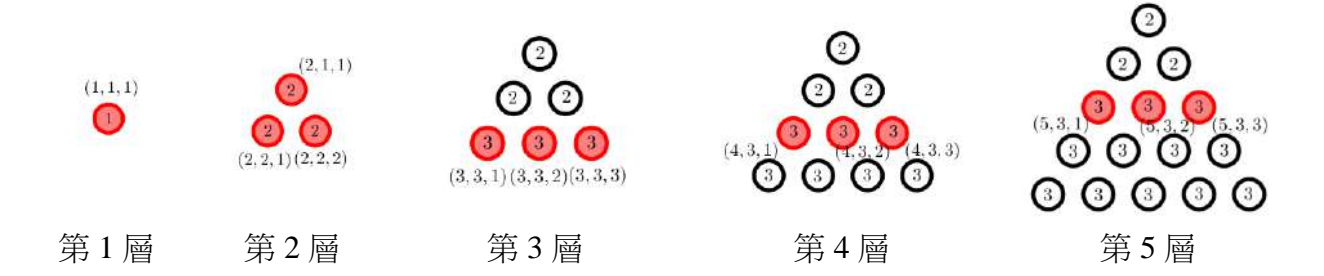
定理 14: 在 $\Delta^*_{n,1}$ 中, $I_1^*(n)=1$ 。

定理 15: 在 $\Delta^*_{n,2}$ 中, $I_2*(n)=1$ 。

接著,我們考慮 $\ell=3$ 的情形。先針對較小的n值做嘗試,找出 $I_3*(n)$ 值,整理於下表:

n	1	2	3	4	5	6	7	8	9	10	11	12	13	14	15	16
$I_3*(n)$	1	2	2	2	2	2	2	2	2	2	2	2	2	2	2	2

由上表知,除了 $I_3*(1)=1$ 外, $I_3*(n)=2$ , $\forall n\geq 2$ 。建構最佳日式三角垛的方式和「平面斜列防 堵法」相似,其排列原則是**盡可能在空球下方安排紅球,避免路徑一路經過太多空球**,其中 **每層紅球位置安排,必須從三角形底邊往頂點排列**,這個結論可由定理 16 中的 Claim1 得知。



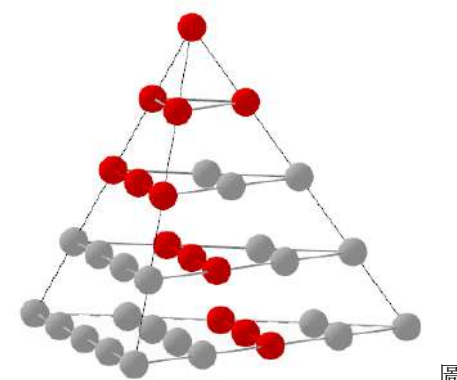


圖 17

圖 17 是以「空間斜列防堵法」排列而成的最佳日式三角垛。可觀察到,縱使我們很想要中斷任何一條從第三層開始就沒有通過紅球的路徑,但這是辦不到的,因為從第三層起,每層留下來的空球數太多,僅以 3 顆紅球並不足以阻擋第三層起全空球路徑的發生。因此, $I_3*(n)=2$ , $\forall n \geq 2$ 。當然,我們需要嚴謹的證明。

定理 16: 在 $\Delta^*_{n,3}$ 中, $I_3^*(n) = \begin{cases} 1, n=1 \\ 2, n \geq 2 \end{cases}$ 。

#### 【證明】

當 n=1 時,  $I_3*(n)=1$  顯然成立。考慮  $n\geq 2$  的情形,顯然  $I_3*(n)\geq 2$ 。  $\diamondsuit S_i = \sum_{1\leq i\leq i} g(i,j,k) \text{ , 即第 } i \text{ 層之最糟陣列總和 } o$ 

<u>Claim1.</u> 若將第 i 層之最糟陣列中的數由小至大排序得到  $a_1 \le a_2 \le \cdots \le a_{\frac{l(i+1)}{2}}$ ,則

$$S_{i+1} \le 3 + S_i + a_1 + (a_1 + a_2 + a_4 + \dots + a_{\frac{i^2 - i + 2}{2}}), \quad \forall i \in \mathbb{N} \quad \circ$$

Proof. 將定理 10 中的 Claim 1. 證明過程反向思考,即同理可證。(詳細證明於研究日誌)

Claim2.
 
$$S_n \le \frac{3n(n+1)}{2} - 3$$
,  $\forall n \ge 2$ 

 Proof.
 當  $n = 2$  時 ,  $S_2 = 6 \le \frac{3 \cdot 2 \cdot 3}{2} - 3$  原式成立

 設  $S_n \le \frac{3n(n+1)}{2} - 3 = 2 \times 3 + 3 \times \left(\frac{n(n+1)}{2} - 3\right) \Rightarrow 2 \le \frac{S_n}{\underline{n(n+1)}} < 3$ 

 則  $S_{n+1} \le 3 + S_n + 2 + (2 + 2 + 3 + \dots + 3)$ 
 $3n(n+1)$ 
 $3(n+1)(n+2)$ 

$$\leq 3 + \frac{3n(n+1)}{2} - 3 + 6 + 3 \times (n-2) = \frac{3(n+1)(n+2)}{2} - 3$$

由數學歸納法得證

曲 Claim2 知,
$$\left[ \frac{S_n}{\frac{n(n+1)}{2}} \right] \leq \left[ \frac{3n(n+1)}{2} - 3 \right] = \left[ 3 - \frac{6}{n(n+1)} \right] = 2 \Rightarrow I_3^*(n) = 2, n \geq 2 \quad \circ \blacksquare$$

再考慮 $\ell=4$ 的情形。我們可以「空間斜列防堵法」建構最佳 $\Delta^*_{n,4}$ 。表 18 記錄其每層 $\underline{\mathbf{B}}$  先著色紅球座標以及該層最糟陣列之最小值k。

k	_1	2	3
紅	$a_{1}^{(1)}(1,1)$	$a_{2}^{(2)2,2)}$ (3,3,3)	$a_{3}(5)(2,2)$
	1		(0,0,3)
-4-T		(4,3,2)	(7,7,2)
球			(8,7,5)
			(9,8,2)
座			(10,8,6)
/			(11,9,3)
			(12,9,8)
標			(13,10,5)
			(14,11,2)
			:

表 18

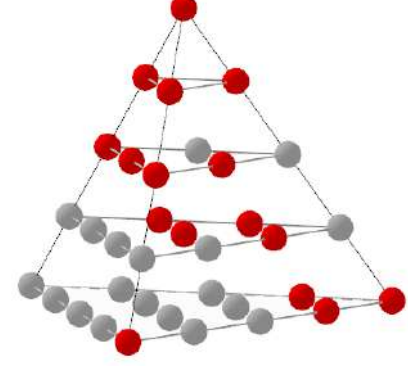


圖 19

由圖 19 知,從第三層起,我們盡可能將紅球安排於空球下方,在第 5 層時,成功的阻斷全空球路徑的發生,因此  $I_4*(5)=3$ 。但從第六層起,每層留下來的空球數太多,僅以 4 顆紅球並不足以阻擋第六層後全空球路徑的發生。因此  $I_4*(n)=3$ , $\forall n \geq 5$ 。

由以上例子,我們發現一個重要的事實,當n足夠大時, $I_{\iota}*(n)$ 必會呈現定值。

### 空間斜列防堵法

在  $\Delta^*_{n,\ell}$  中,設第 i 層紅球坐標依序為  $(i,j_s,k_s)$  ,  $1 \le s \le m_i$  ,其中  $m_i = \min \left\{ \frac{i(i+1)}{2}, \ell \right\}$  。

 $\diamondsuit(x,y,z)=(i\,,\,j_{m_i}\,,k_{m_i}-1)$ ,進行以下迭代步驟,

(1)當 y < 1時 , (x, y, z) ⇒ (x, y+x, z+x) 再執行步驟(2)。否則直接步驟(2)。

(2)當z < 1時, $(x, y, z) \Rightarrow (x, y-1, z+y-1)$ 。回步驟(1)。

重複進行(1)(2)至 $x \ge y \ge z \ge 1$ 為止。

 $\diamondsuit(i',j_{s}',k_{s}')=(x+1,y+1,z+2-s),1\leq s\leq m_{i+1}$ ,進行以下迭代步驟,

(3)當 $j_s$ '<1時, $(i', j_s', k_s')$ ⇒ $(i', j_s'+i', k_s'+i')$ 。

(4) 當  $k_s$  '<1時,  $(i', j_s', k_s')$   $\Rightarrow$   $(i', j_s'-1, k_s'+j_s'-1)$ 。 回步驟(3)。

重複進行(3)(4)至 $i' \ge j_s' \ge k_s' \ge 1$ 為止。此時 $(i', j_s', k_s'), 1 \le s \le m_{i+1}$ 為第i+1層的紅球坐標。

定理 17: 以「空間斜列防堵法」排列的 $\Delta^*_{n,\ell}$ 為最佳日式三角垛。

#### 【證明】

 $\diamondsuit S_i = \sum_{1 \le k \le j \le i} g(i,j,k)$ ,即第 i 層之最糟陣列總和。

<u>Claim.</u> 若將第 i 層之最糟陣列中的數由小至大排序得到  $a_1 \le a_2 \le \cdots \le a_{\frac{l(i+1)}{2}}$ ,則

$$S_{i+1} \le \ell + S_i + a_1 + (a_1 + a_2 + a_4 + \dots + a_{\frac{i^2 - i + 2}{2}}), \quad \forall i \in \mathbb{N} \ \underline{\perp} \ 1 + 2 + \dots + (i+1) \ge \ell$$

Proof. 同理定理 16 中的 Claim1 的證明過程可證。(詳細證明於研究日誌)

由 Claim 的證明過程知,當  $S_i$ 已知,若最糟陣列為依照小至大由第 1 列至第 i 列的次序排列時,其次狀態陣列的總和為最大,此時  $S_{i+1}=\ell+S_i+a_1+(a_1+a_2+a_4+\cdots+a_{\frac{i^2-i+2}{2}})$ ,又

當
$$a_1$$
, $a_2$ , $a_4$ ,…, $a_{\frac{i^2-i+2}{2}}$ 只由 $\left[\frac{S_i}{\frac{i(i+1)}{2}}\right]$ 與 $\left(\left[\frac{S_i}{\frac{i(i+1)}{2}}\right]+1\right)$ 組成時, $S_{i+1}$ 能達到最大值。而第 $i+1$ 層

之最糟陣列為只由  $\left\lceil \frac{S_{i+1}}{\frac{(i+1)(i+2)}{2}} \right
right
right
right
right
right
right
right
right
right.$  组成的分布時,由第 1 層至第 i+1 層的最糟

路徑所通過的紅球數為 $\left[rac{S_{i+1}}{\frac{(i+1)(i+2)}{2}}
ight]$ ,且不可能再多了!顯然,以「空間斜列防堵法」排列

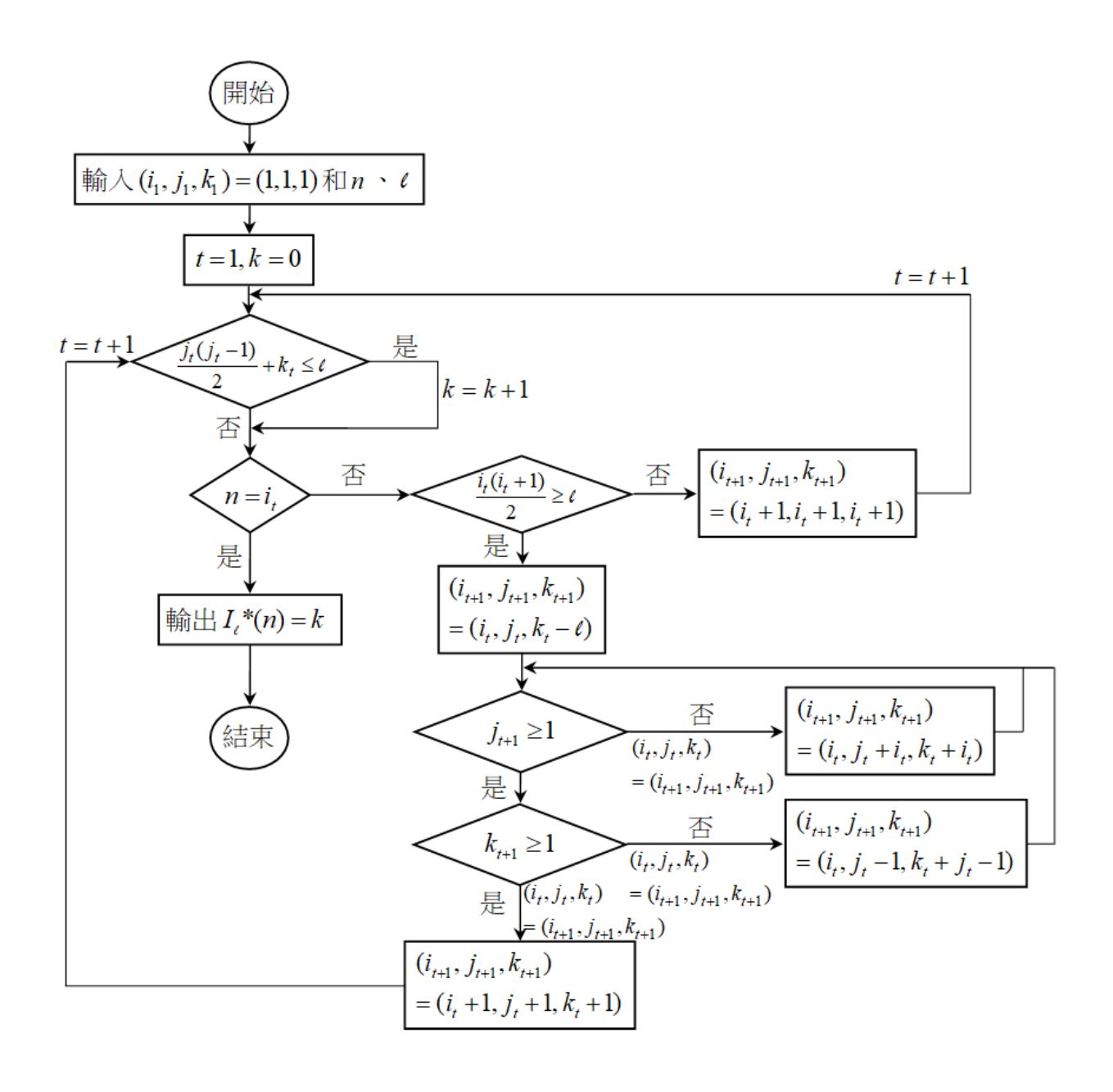
的 $\Delta^*_{n,\ell}$ 完全符合以上條件,即為最佳日式三角垛。

## 【求I,\*(n)之演算法】

給定 $n \cdot \ell$ ,由第 1 層紅球座標(1,1,1)開始,利用上述「空間斜列防堵法」之迭代過程,可以決定第i層的 $m_i$ 個紅球坐標分別為 $(i,j_s,k_s)$ , $1 \le s \le m_i$ ,考慮s=1,即第i層的第 1 個著色的球

坐標 
$$(i,j_1,k_1)$$
 ,則  $I_{\ell}*(i) = \begin{cases} I_{\ell}*(i-1)+1, 當 \frac{j_1(j_1-1)}{2} + k_1 \leq \ell \\ I_{\ell}*(i-1) & , 當 \frac{j_1(j_1-1)}{2} + k_1 \geq \ell \end{cases}$  , $i \geq 2$  , $I_{\ell}*(1) = 1$  。 進行以上迭代關係

式後即可求得 I,\*(n)。(程式碼於附錄)



我們將電腦程式跑出來的部分結果整理如下:

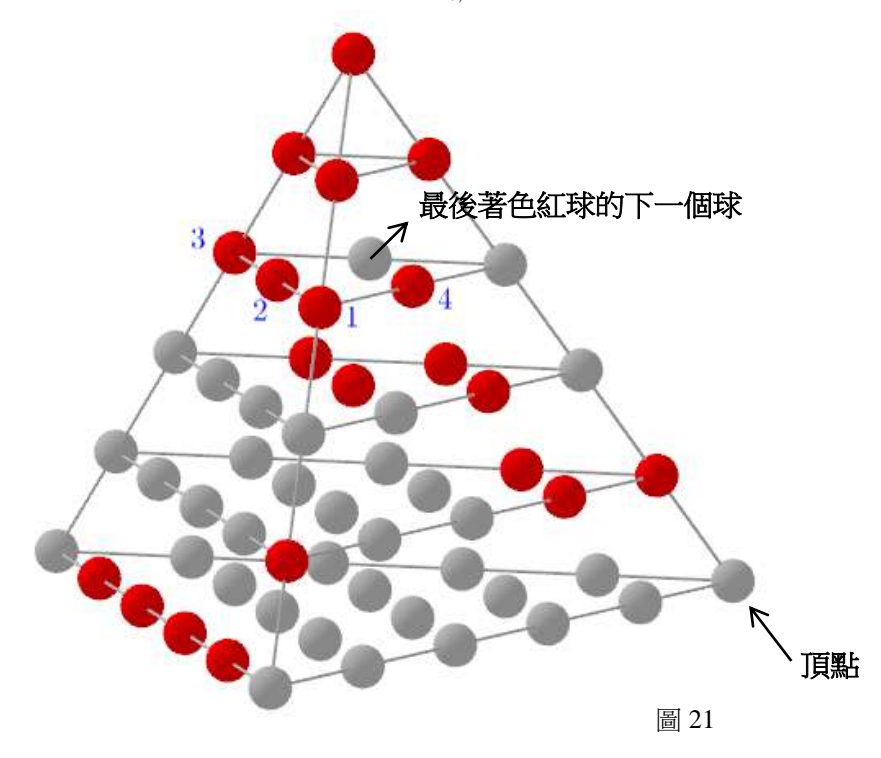
4 (11 4) 4 (2) 1 (2) 1 (3) 1 (											
$\ell$	1	2	3	4	5	6	7	8	9	10	11
$a_1$	1	1	1	1	1	1	1	1	1	1	1
$a_2$	X	×	2	2	2	2	2	2	2	2	2
$a_3$	X	×	X	5	4	3	3	3	3	3	3
$a_4$	X	×	X	X	X	6	5	5	5	4	4
$a_5$	×	×	X	×	X	×	13	9	7	6	6
$a_6$	X	×	X	X	X	X	×	×	21	11	10
$a_7$	×	×	×	×	×	×	×	×	×	×	X

表 20. 若  $a_k \le n < a_{k+1}$ ,則  $I_{\ell}*(n) = k$ 。

## $I_{\iota}^{*(n)}$ 定值性質之探討】

由表 20 知,當 n 足夠大時,  $I_{\ell}*(n)$  會呈現定值,即存在  $i,c\in N$  ,使得  $I_{\ell}*(n)=c$  , $\forall n\geq i$  。 那麼,i 的最小值會發生在何時呢?我們觀察  $\ell=4$  的情形。

圖 21 為紅球以「空間斜列防堵法」排列的 $\Delta^*_{6.4}$ :



#### 【說明】

- 1. 紅球著色的次序為該層三角形底邊往頂點方向排列。

以圖 21 為例, $E_3 = \{(3,2,1),(3,1,1)\}$ 且 $e_3 = 2$ 。同理 $e_4 = 1$ 、 $e_5 = 14$ 。

3.補球時機:著色至該層三角形頂點後回到底邊著色或剛好著色至頂點結束。如圖 21 中的第 2 層與第 5 層。

將數據整理於下表,並觀察其每層塗完紅球後所剩餘的球數間之關係:

層數 (n)	該層總球數 $S_n$	最後著色紅球的下 一個球坐標 $(i_n, j_n, k_n)$	塗完紅球後剩餘的球數 $e_n$	下一層與 $E_n$ 相 鄰的球數 $e_n$ '	<i>I<sub>ε</sub>*(n)</i> 值
1	1	(1,1,1)	1	3	1
2	3	(2,2,2)	3	6	2
3	6	(3,2,1)	2	5	2
4	10	(4,1,1)	1	3	2
5	15	(5,5,4)	14	20	3
6	21	(6,6,1)	16	23	3
7	28	(7,6,4)	19	26	3
8	36	(8,7,1)	22	30	3
:	:	:	:	:	÷

表 22. 紅球以「空間斜列防堵法」排列的 $\Delta^*_{n,4}$ 

由表 22 可知, $I_4*(n)=3$ , $\forall n\geq 5$ ,也就是從n=5起, $I_4*(n)$ 開始呈現定值 3。同時我們可觀察到,讓 $I_{\iota}*(n)$ 不再增加的關鍵是,<u>每層塗完紅球後剩餘的球數是否在沒有補球的狀態</u>下遞增(含相等)。經過研究,我們得到了以下結論:

定理 18:在 $\Delta^*_{n,\ell}$ 中,存在 $i,c\in N$ ,使得 $I_{\ell}^*(n)=c$ , $\forall n\geq i$  ,而i 的最小值為最小正整數i 滿足不等式  $j\geq \ell-1$  ,其中(i,j,k) 為以「空間斜列防堵法」排列的 $\Delta^*_{n,\ell}$ 之第i 層的最後著色紅球的下一個球坐標。

### 【證明】

當  $S_n \leq \ell$  時,代表該層全塗成紅球,補球後得到  $e_n = S_n$  。此時  $I_\ell*(n) = I_\ell*(n-1)+1$  , $n \geq 2$  。 當  $S_n > \ell$  時,令第 n 層最後著色紅球的下一個球坐標為  $(i_n,j_n,k_n)$  ,則  $e_n = \frac{j_n(j_n-1)}{2} + k_n$  ,且  $e_n' = e_n + j_n + 1$  。

分成 2 種 case 考慮:

- (1)當 $e_n' > \ell$ 時,第n+1層塗完紅球後剩餘 $e_n' \ell$ 個球。
- (2)當 $e_n$ ' $\leq \ell$ 時,第n+1層塗了 $e_n$ '個紅球後,必須再從該層底邊往頂點方向塗 $(\ell-e_n)$ 個紅球,因此第n+1層塗完紅球後剩餘 $[S_{n+1}-(\ell-e_n)]$ 個球。

由(1)(2) 可整理成遞迴關係式 
$$e_{n+1} = \begin{cases} e_n' - \ell &, e_n' > \ell \\ e_n' - \ell + S_{n+1}, e_n' \leq \ell \end{cases}$$
,其中  $e_n' = e_n + j_n + 1$ 。

由以上可知,當 $e_n$ ' $\leq \ell$  時, $e_n$ ' $-\ell$  需補上 $S_{n+1}$  個球後才會是 $e_{n+1}$ ,此時第n+1 層的最糟陣列之最小值會增加 1,故 $I_\ell*(n+1)=I_\ell*(n)+1$ , $n\geq 1$ 。當 $e_n$  在沒有補球的狀態下開始遞增,代表 $I_\ell*(n)$  值不再增加,即開始呈現定值,此時, $e_{n+1}\geq e_n\Rightarrow e_n+j_n+1-\ell\geq e_n\Rightarrow j_n\geq \ell-1$ 。

定理 18 所得到的結論,雖然無法讓我們明確得知i的最小值,但它對我們接下來要找出 i的最小值的上下界有極大的幫助。

定理 19:在
$$\Delta^*_{n,\ell}$$
中,存在 $i,c\in N$ ,使得 $I_{\ell}^*(n)=c$ , $\forall n\geq i$ ,而 $i$  的最小值  $\min_{\ell}(i)$  滿足 
$$\ell-1\leq \min_{\ell}(i)\leq \ell-2+\sum_{k=1}^{\ell-2}\left\lceil\frac{\ell-2}{k}\right\rceil \circ$$

#### 【證明】

Claim 1.  $\min_{\ell}(i) \ge \ell - 1$ 

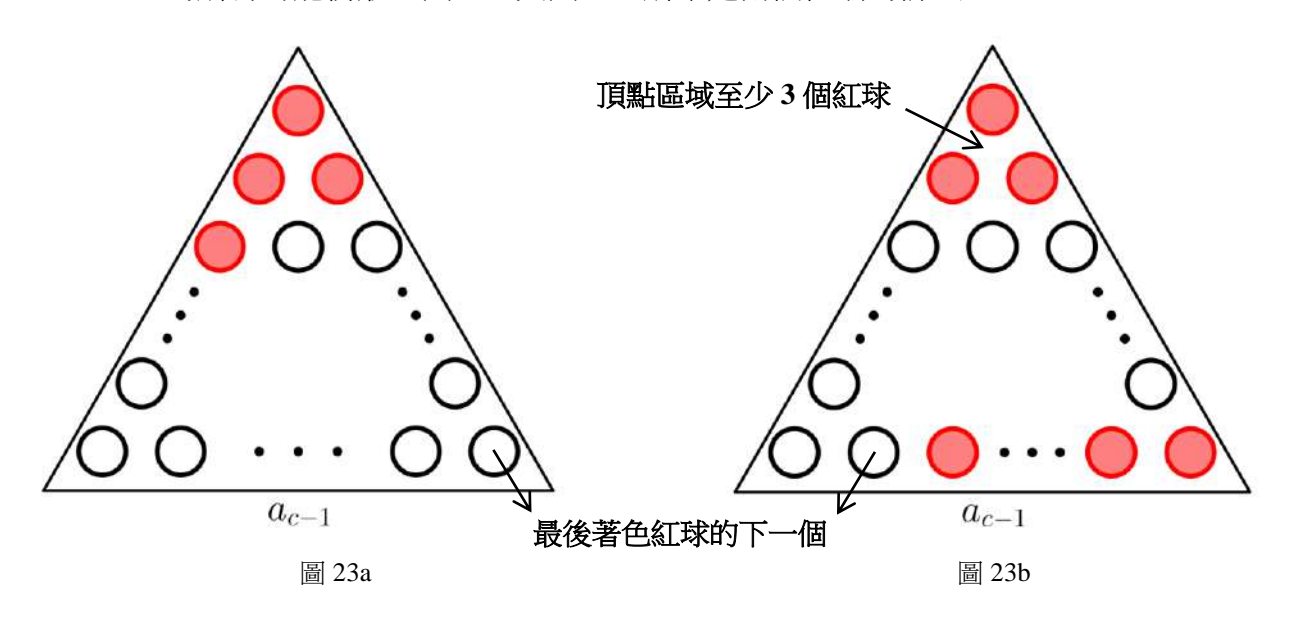
Proof. 由定理 18 可知, $\min_{\ell}(i)$  為最小正整數i 滿足不等式  $j \ge \ell - 1$ ,其中(i, j, k) 為以「空間斜列防堵法」排列的 $\Delta *_{n,\ell}$ 之第i 層的最後著色紅球的下一個球坐標。顯然, $i \ge j \ge \ell - 1$ ,因此 $\min_{\ell}(i) \ge \ell - 1$ 。

Claim 2. 
$$\min_{\ell}(i) \le \ell - 2 + \sum_{k=1}^{\ell-2} \left\lceil \frac{\ell-2}{k} \right\rceil$$

Proof. 觀察以「空間斜列防堵法」排列的 $\Delta^*_{n,\ell}$ ,依序擴張 n 值,可發現每當紅球塗到第 n 層頂點時, $I_{\ell}^*(n)$  便會加 1。也就是說,假設紅球由上層往下層排列,第 t 次塗到 頂點的層數為  $a_t$ ,則  $I_{\ell}^*(a_t) = t$ 。而  $I_{\ell}^*(n)$  產生定值 c 的時機為最後一次紅球塗到頂點的層數,也就是第  $a_c$  層,因此  $\min_{\ell}(i) = a_c$ 。為了求出  $\min_{\ell}(i)$  的上界,我們考慮倒數第二次紅球塗到頂點的層數  $a_{c-1}$ ,並分別求出  $a_{c-1}$  的上界與  $a_c - a_{c-1}$  的上界。

#### $(1) a_{c-1} \le \ell - 2$

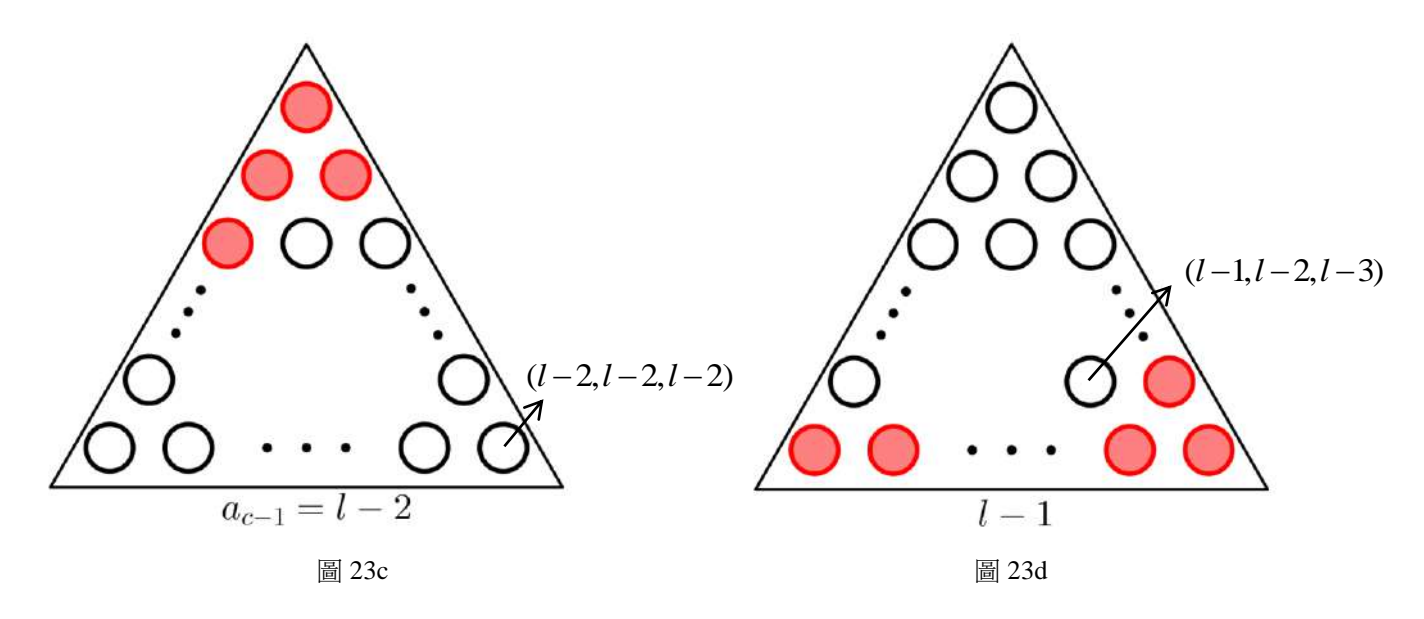
我們可以用反證法證明它。假設  $a_{c-1} > \ell - 2$  ,即  $a_{c-1} \ge \ell - 1$  ,觀察第  $a_{c-1}$  層紅球排列的所有可能情形。圖 23a 與圖 23b 所示是兩個極端的排法。



由上圖可知,無論第 $a_{c-1}$ 層紅球如何排列,它的最後著色紅球的下一個球座標 (i,j,k)都會滿足  $j=a_{c-1}\geq \ell-1$ ,此時符合定理 18 產生定值的時機,與已知矛盾。

$$(2) a_c - a_{c-1} \le \sum_{k=1}^{\ell-2} \left[ \frac{\ell-2}{k} \right]$$

為了找出 $a_c-a_{c-1}$ 的上界,我們鎖定極端狀態,即 $a_{c-1}=\ell-2$ 且最後著色紅球恰為該層頂點的情形。例如 $\ell=9$ 的情形便是滿足此極端情形(表 24)。我們可得知,第 $a_{c-1}$  層到第 $a_c-1$  層的 $e_n$  值會逐步遞減直至 $e_n' \le \ell$  為止,且其遞減的量會遞增。事實上,此遞減量決定於最後著色紅球的下一個球座標 $(i_n,j_n,k_n)$ 中的 $j_n$ 之值。說明如下:



考慮  $\ell-2=a_{c-1} \le n \le a_c-2$ ,假設第 n 層最後著色紅球的下一個球座標為  $(i_n,j_n,k_n)$ ,則  $e_n'=e_n+j_n+1$ ,且  $e_{n+1}=e_n+j_n+1-\ell=e_n-(\ell-j_n-1)$ 。當  $n=\ell-2$  且最後著色紅球恰為該層頂點時(圖 23c),  $j_n=\ell-2$ ,故  $e_{n+1}=e_n-1$ (圖 23d)。

又因為  $e_{n+1} < e_n \Rightarrow j_{n+1} \le j_n = \ell-2 \Rightarrow e_{n+2} < e_{n+1}$ ,依此類推,可得  $j_{n+1} \le j_n$  且  $e_{n+1} < e_n$ , $\forall a_{c-1} \le n \le a_c-2$ 。因此,  $e_n$ 的遞減量  $\ell-j_n-1$  會遞增。而當  $j_n=\ell-2$  時,遞減量為 1,但最多只會有  $\ell-2$  個 n 值會滿足  $n=\ell-2$  ,因此遞減量為 n 的情形最多只會有 n 包 。 當  $n=\ell-3$  , 因此遞減量為 n 的情形最多只會有 n 。 你此類推,可得 n 。 你此類推,可得 n 。

曲(1)(2)可知, 
$$\min_{\ell}(i) = a_c = a_{c-1} + a_c - a_{c-1} \le \ell - 2 + \sum_{k=1}^{\ell-2} \left[ \frac{\ell-2}{k} \right] \circ \blacksquare$$

層數 (n)	該層總球數 $S_n$	最後著色紅球的下 一個球坐標 $(i_n, j_n, k_n)$	塗完紅球後剩 餘的球數 e <sub>n</sub>	下一層與 $E_n$ 相 鄰的球數 $e_n$ '	$I_{\iota}^{*}(n)$ 值
1	1	(1,1,1)	1	3	1
2	3	(2,2,2)	3	6	2
3	6	(3,3,3)	6	10	3
4	10	(4,1,1)	1	3	3
5	15	(5,4,3)	9	14	4
6	21	(6,3,2)	5	9	4
7	28	(7,7,7)	28	36	5
8	36	(8,7,6)	27	35	5
9	45	(9,7,5)	26	34	5
10	55	(10,7,4)	25	33	5
11	66	(11,7,3)	24	32	5
12	78	(12,7,2)	23	31	5
13	91	(13,7,1)	22	30	5
14	105	(14,6,6)	21	28	5
15	120	(15,6,4)	19	26	5
16	136	(16,6,2)	17	24	5
17	153	(17,5,5)	15	21	5
18	171	(18,5,2)	12	18	5
19	190	(19,4,3)	9	14	5
20	210	(20,3,2)	5	9	5
21	231	(21,21,21)	231	253	6
22	253	(22,22,13)	244	267	6
:	<u>:</u>	:	:	:	:

表 24. 紅球以「空間斜列防堵法」排列的 $\Delta^*_{n,9}$ 

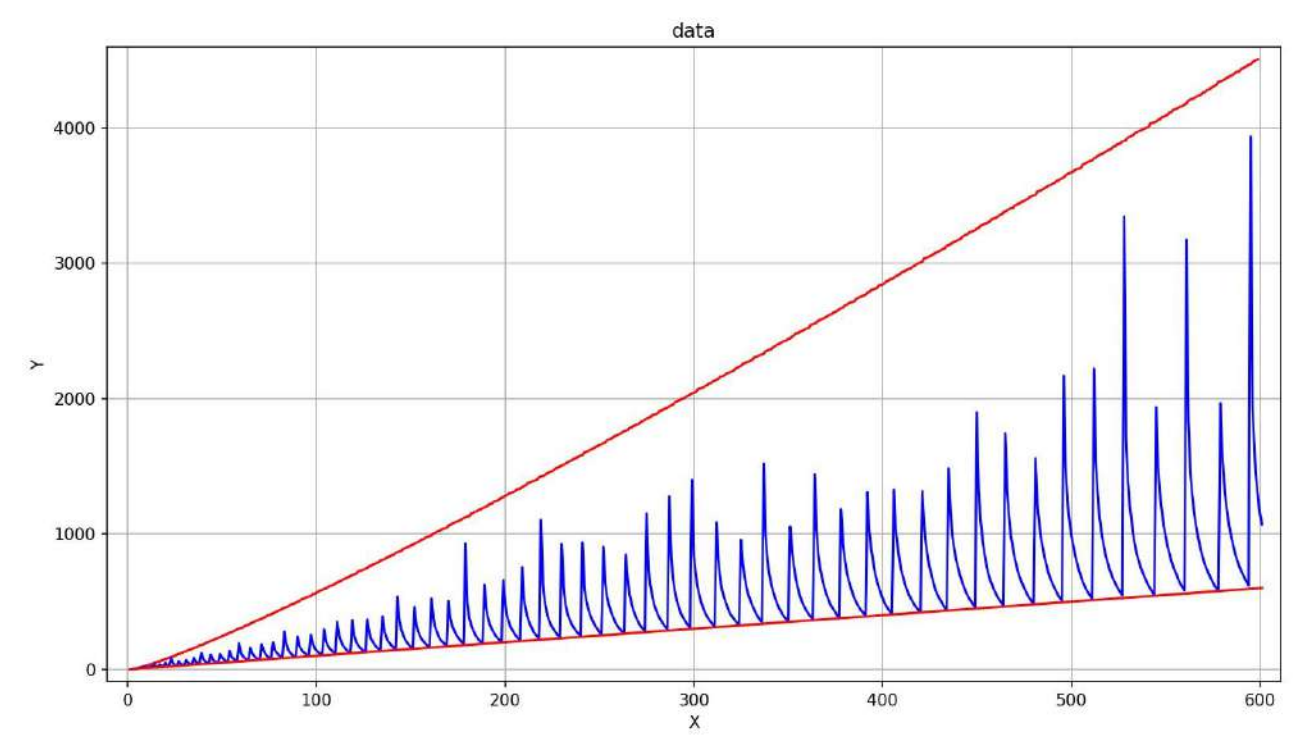


圖 25.  $\ell=1\sim600$  時  $\min_{\ell}(i)$  值之折線圖及其上下界

### 研究五: ℓ=1高維空間情形之探討

在這個研究中,我們要探討日式三角垛的高維情形。為了方便起見,我們將各維空間的球都稱為球,並將n階  $\ell$ 型日式三角垛的m維情形記作 $\Delta_{n,\ell}^{[m]}$ ,我們的研究目的是,求出 $\Delta_{n,1}^{[m]}$ 中的 $J_{n}^{[m]}$ (n)之值。以下為日式三角垛在高維空間(m維空間)中的定義。

## 日式三角垛在高維空間(m 維空間)中的定義 (記作 $\Delta_{n,\ell}^{[m]}$ )

n 階  $\ell$  型日式三角垛在 m 維空間中的球之座標為  $(x_1, x_2, \dots, x_m)$  ,其中  $n \geq x_1 \geq x_2 \geq \dots \geq x_m \geq 1$  ,且  $x_1 = i$  共有  $C_{m-1}^{i+m-2}$  個球,其中塗成紅色的球數為  $\min \left\{ C_{m-1}^{i+m-2}, \ell \right\}$  。 忍者路徑為一條路徑通過  $x_1 = 1$  到  $x_1 = m$  的球,其中  $x_1 = i$  的每顆球連接到  $x_1 = i+1$  中與之相 鄰的 m 球之一。

## 最糟 $\Delta_{n,\ell}^{[m]}$

由 $x_1 = 1$ 到 $x_1 = m$ ,最佳路徑所通過的紅球數為最小的 $\Delta_{n,\ell}^{[m]}$ ,其紅圓數記作 $J_{\ell}^{[m]}(n)$ 。

#### $(--) m = 4 \cdot \ell = 1$

類似於「3維空間斜列錯開法」,定義「4維空間斜列錯開法」如下:

### 4 維空間斜列錯開法

在 $\Delta_{n,1}^{[4]}$ 中,設 4 維空間座標為 $(x_1, x_2, x_3, x_4)$ ,  $x_1 = i_1$ 的紅球座標為 $(i_1, i_2, i_3, i_4)$ 。 令 $(i_1', i_2', i_3', i_4') = (i_1 + 1, i_2 + 1, i_3 + 1, i_4 + 2)$ ,進行以下迭代步驟,

- (1)當 i₁' < i₂' 時, (i₁',i₂',i₃',i₄') ⇒ (i₁',i₂'-i₁',i₃',i₄') 再執行步驟(2)。否則直接步驟(2)。
- (2)當 $i_2$ '< $i_3$ '時, $(i_1$ ', $i_2$ ', $i_3$ ', $i_4$ ') $\Rightarrow$  $(i_1$ ', $i_2$ '+1, $i_3$ '- $i_2$ ', $i_4$ ') 再執行步驟(3)。否則直接步驟(3)。
- (3)當 $i_3$ '< $i_4$ '時, $(i_1$ ', $i_2$ ', $i_3$ ', $i_4$ ') $\Rightarrow$  $(i_1$ ', $i_2$ ', $i_3$ '+1, $i_4$ '- $i_3$ ')回步驟(1)。

重複進行(1)(2)(3)至 $i_1' \ge i_2' \ge i_3' \ge i_4'$ 為止。此時 $(i_1',i_2',i_3',i_4')$ 為 $x_1 = i_1 + 1$ 的紅球坐標。

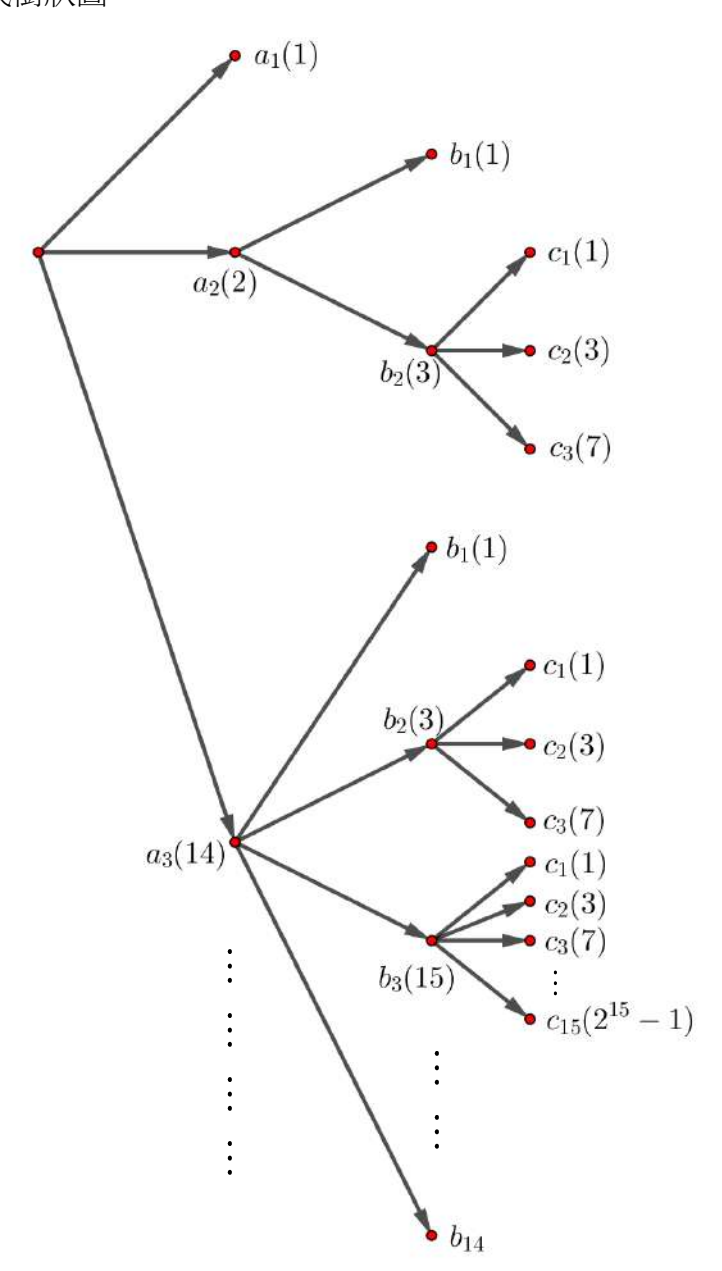
舉例來說, $x_1$  =1的紅球座標為(1,1,1,1),令 $(i_1',i_2',i_3',i_4')$ =(1+1,1+1,1+1,1+2)=(2,2,2,3),依照上述迭代步驟,其迭代過程為(2,2,2,3)⇒(2,2,3,1)⇒(2,3,1,1)⇒(2,1,1,1),因此 $x_1$ =2的紅球座標為(2,1,1,1)。重新令 $(i_1',i_2',i_3',i_4')$ =(2+1,1+1,1+1,1+2)=(3,2,2,3),再進行一次上述迭代步驟,其迭代過程為(3,2,2,3)⇒(3,2,3,1)⇒(3,3,1,1),因此 $x_1$ =3的紅球座標為(3,3,1,1)。依此類推,下表為以「4維空間斜列錯開法」排列的 $\Delta_{n,1}^{[4]}$ 之紅球座標以及最佳陣列之最大值k。

k	1	$a_2$ 2	$b_1$	3		4
	(1,1,1,1)	(2)1,1,1)	$a_3(14,1,1,1)$	(83,72,63,1)	(8204,8193,8191,1)	$(a_4)1,1,1)$
	$a_{_1}$	(3,3,1,1)	$b_{2}(15,31,1)C_{1}$		<u>:</u>	
	1	(4,4,3,1)	$(16,44,1)_{C_2}$	(145,134,125,125)	(16394,16383,16381,16381)	
		(5,5,4,3)	(17,5,4,3)	(146,135,127,1)	(16395,16384,16383,1)	1 :
		(6,6,5,5)	(18,6,5,5)	:	:	
		(7,7,7,1)	$(19,7/\Lambda,1) C_3$	(272,261,253,253)	(32777,32766,32765,32765)	:
		(8,8,8,3)	(20,8,8,3)	(273,262,255,1)	(32778,32767,32767,1)	:
		(9,9,9,5)	(21,9,9,5)	:	(32170,32707,32707,1)	:
紅		(10,10,10,7)	(22,10,10,7)	(527.516.500.500)	(65544 65522 65522 65522)	:
		(11,11,11,9)	(23,11,11,9)	(527,516,509,509)	(65544,65533,65533,65533) (65545,65535,1,1)	-
4-1		(12,12,12,11)	(24,12,12,11)	(528,517,511,1)		•
球		(13,13,13,13)	(25,13,13,13)	:	$b_4$	
			<b>b</b> <sub>3</sub> (26,15,1,1)	(1038,1027,1021,1021)	:	
座			(27,16,3,1)		:	
上			:	(1039,1028,1023,1)	:	
			(29,18,5,5)	:	:	
標			(30,19,7,1)	(2061,2050,2045,2045)	:	
				(2062,2051,2047,1)	:	
			(36,25,13,13)	:	:	
			(37,26,15,1)	(4108,4097,4093,4093)	:	
			(51.40.20.20)	(4109,4098,4095,1)		
			(51,40,29,29)			
			(52,41,31,1)	(8203,8192,8189,8189)		
			(82,71,61,61)			

我們仔細觀察所有紅球座標規律,發現每個座標間都存在著某種意義與關係。整理如下:

- (1)  $\Delta_{n,1}^{[4]}$  中的起始紅球座標為  $(a_1,1,1,1)$  ,其中  $a_1$  = 1 。當下一個出現  $(\bigcirc,1,1,1)$  的座標時, k 值增加 1 ,即數列  $\langle a_k \rangle$  滿足  $(a_1,1,1,1)$   $\to$   $(a_2,1,1,1)$   $\to$   $(a_3,1,1,1)$   $\to$   $\cdots$  ,由上表知  $a_1$  = 1 、  $a_2$  = 2 、  $a_3$  = 14 、  $\cdots$  。
- (2)觀察不同的 k 值所有的紅球座標,以 k=3為例,它的第一個紅球座標為  $(a_3,1,1,1)$  ,其中  $a_3=14$  ,代表著 k=3中,可區分成 14 個不同顏色區塊(如上表中的黃→綠→藍→……),而 每一個顏色區塊的起始紅球座標皆型如  $(\bigcirc, \square, 1, 1)$  ,將這 14 個型如  $(\bigcirc, \square, 1, 1)$  的座標中口依 序標示成  $b_1, b_2, \dots, b_{14}$  ,即數列  $\langle b_k \rangle$  滿足  $(a_i, b_1, 1, 1) \to (\bigcirc', b_2, 1, 1) \to (\bigcirc'', b_3, 1, 1) \to \dots 共 a_i$  項,由上表可知  $b_1=1$  、  $b_2=3$  、  $b_3=15$  、  $b_4=65535$  、……,事實上  $b_k={}^k2-1$  。
- (3)觀察同色區塊中所有的紅球座標,以k=3中第 2 個綠色區塊為例,它的第一個紅球座標為  $(15,b_2,1,1)$  ,其中 $b_2=3$  ,代表著綠色區塊可再細分成 3 個小區域,每個小區域的起始紅球座標皆型如  $(\bigcirc, \square, \triangle, 1)$  ,將這 3 個型如  $(\bigcirc, \square, \triangle, 1)$  的座標中  $\triangle$  依序標示成 $c_1, c_2, c_3$  ,由上表可知 $c_1=1$ 、 $c_2=3$ 、 $c_3=7$ ,代表每個小區域的紅球數量,即綠色區域共有 $c_1+c_2+c_3=11$  個紅球。依此類推可得數列 $\langle c_k \rangle$ 滿足  $(\bigcirc, b_i, c_1, 1) \to (\bigcirc', \square, c_2, 1) \to (\bigcirc'', \square', c_3, 1) \to \cdots$  并 $b_i$  項,事實上 $c_k=2^k-1$ 。

## 我們將以上關係畫成樹狀圖



由樹狀圖可得以下遞迴關係:

$$\begin{aligned} a_1 &= 1 \\ a_2 &= a_1 + 1 = 2 \\ a_3 &= a_2 + 1 + (1 + 3 + 7) = 14 \\ a_4 &= a_3 + \left[ \left( \underbrace{1}_{b_1 \overline{q}} \right) + \left( \underbrace{1 + 3 + 7}_{b_2 \overline{q}} \right) + \left( \underbrace{1 + 3 + 7 + \dots + (2^{15} - 1)}_{b_3 \overline{q}} \right) + \left( \underbrace{1 + 3 + 7 + \dots + (2^{65535} - 1)}_{b_4 \overline{q}} \right) + \dots \\ & \cdots + \left( \underbrace{1 + 3 + 7 + \dots (2^{b_{14}} - 1)}_{b_{14} \overline{q}} \right) \right] = 14 + \left[ \left( ^22 - ^12 - 1 \right) + \left( ^32 - ^22 - 1 \right) + \dots + \left( ^{15}2 - ^{14}2 - 1 \right) \right] \\ &= 14 + \left( ^{15}2 - ^12 - 14 \right) = ^{15}2 - 2 \\ &\vdots \end{aligned}$$

依此類推可得  $a_{k+1}=a_k+\left[S_1+S_2+\cdots+S_{a_k}\right]$ ,其中  $S_k=\underbrace{c_1+c_2+\cdots+c_{b_k}}_{$ ,且  $c_k=2^k-1$ , $b_k=k^2-1$ 。

**問題 1**:如何得知  $c_{\iota} = 2^{k} - 1$ 呢?

 $\underline{\mathcal{O}}$ 析: 觀察座標( $\mathbb{O}, \mathbb{D}, c_k$ , 1)變化為座標( $\mathbb{O}', \mathbb{D}', c_{k+1}$ , 1)的過程

(〇, □, 
$$c_k$$
, 1)  $\rightarrow$  (〇+1, □+1,  $c_k$  +1,1+2)  $\rightarrow$  ···  $\rightarrow$  (〇+ $h$ , □+ $h$ ,  $c_k$  + $h$ ,1+2 $h$ )  $\xrightarrow{\text{连代}}$  (○+ $h$ , □+ $h$ ,  $c_{k+1}$ , 1) 其中  $c_k$  + $h$  <1+2 $h$   $\Rightarrow$   $h$  >  $c_k$  -1 取  $h$  =  $c_k$  得  $c_{k+1}$  =  $c_k$  + $c_k$  +1 =  $2c_k$  +  $1$  ####

即 $\langle c_k \rangle$ 滿足遞迴關係式 $\begin{cases} c_{k+1} = 2c_k + 1, k \geq 1 \\ c_1 = 1 \end{cases}$ ,解得 $c_k = 2^k - 1 \ (\forall k \in N)$ 。

問題 2: 如何得知  $b_k = {}^k 2 - 1$  呢?

分析: 觀察座標 $(O, b_k, 1, 1)$ 變化為 $(O', b_{k+1}, 1, 1)$ 的過程

曲(3)的關係可知 
$$b_{k+1} = b_k + (c_1 + c_2 + \dots + c_{b_k}) + 1$$
  $= b_k + [(2^1 - 1) + (2^2 - 1) + \dots + (2^{b_k} - 1)] + 1$ 

$$= b_k + \frac{2(2^{b_k} - 1)}{2 - 1} - b_k + 1 = 2^{b_k + 1} - 1$$

即
$$\langle b_k \rangle$$
滿足遞迴關係式  $\begin{cases} b_{k+1} = 2^{b_k+1} - 1, k \geq 1 \\ b_1 = 1 \end{cases}$ ,解得 $b_k = {}^k 2 - 1 (\forall k \in N)$ 。

由以上可知

$$S_k = (2^1 - 1) + (2^2 - 1) + \dots + (2^{b_k} - 1) = \frac{2(2^{b_k} - 1)}{2 - 1} - b_k = 2^{b_k + 1} - 2 - b_k = 2^{k_2} - k \cdot 2 - 1 = k + 1 \cdot 2 - k \cdot 2 - 1$$

可推得 
$$a_{k+1} = a_k + \sum_{i=1}^{a_k} {i+1 \choose 2-i} = a_k + {a_k+1 \choose 2-i} = a_k + {a_k+1 \choose 2-i} = a_k + a$$

因此數列
$$\langle a_k \rangle$$
的遞迴關係式為 
$$\begin{cases} a_{k+1} = {}^{a_k+1}2-2, k \geq 1 \\ a_1 = 1 \end{cases}$$

我們想要表示出一個很類似於定理 10 的公式,類然,我們需要微調文獻[4]所定義的迭代對數。

定義 
$$\log^*(n)$$
 滿足  $\log^*(n) = \begin{cases} 0 & , n < 2 \\ 1 + \log^*(\log_2 n) & , n \ge 2 \end{cases}$  以及定義  $\log^{[4]}(n)$  滿足

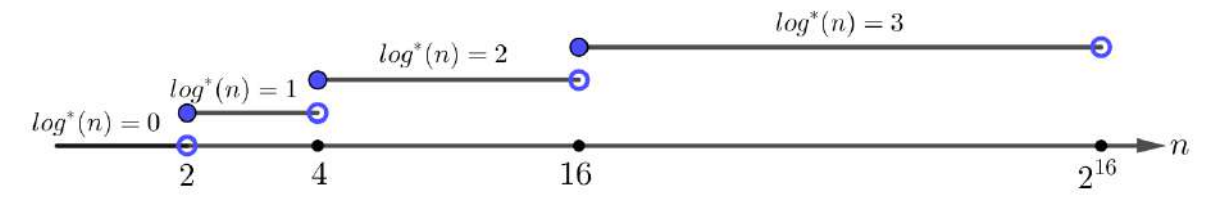
$$\log^{[4]}(n) = \begin{cases} 0 & , n < 1 \\ 1 + \log^{[4]}(\log^*(n+2) - 1), n \ge 1 \end{cases}, \quad \text{則 } J_1^{[4]}(n) = \log^{[4]}(n) \circ 將結論整理如下:$$

# 4 維空間 J[4](n) 之通式:

在
$$\Delta_{n,1}^{[4]}$$
中,定義 $\log^{[4]}(n)$ 滿足 $\log^{[4]}(n) = \begin{cases} 0 & ,n < 1 \\ 1 + \log^{[4]}(\log^*(n+2) - 1), n \ge 1 \end{cases}$ ,則

$$J_1^{[4]}(n) = \log^{[4]}(n)$$
,其中 $\log^*(n)$ 滿足 $\log^*(n) = \begin{cases} 0 & , n < 2 \\ 1 + \log^*(\log_2 n) & , n \ge 2 \end{cases}$ 。

我們將 $\log^*(n)$ 的值整理於下圖,特別的是 $\log^*(^k 2) = k, \forall k \in N$ 。



可以看得出來,無論是 $\log^*(n)$ 或 $\log^{[4]}(n)$ ,它們都是增加速度極為緩慢的函數。

### $(\stackrel{\frown}{}) m = 5 \cdot \ell = 1$

類似於「4維空間斜列錯開法」,定義「5維空間斜列錯開法」如下:

#### 5 維空間斜列錯開法

在 $\Delta_{n,1}^{[5]}$ 中,設 5 維空間座標為 $(x_1,x_2,x_3,x_4,x_5)$ ,  $x_1=i_1$ 的紅球座標為 $(i_1,i_2,i_3,i_4,i_5)$ 。 令 $(i_1',i_2',i_3',i_4',i_5')=(i_1+1,i_2+1,i_3+1,i_4+1,i_5+2)$ ,進行以下迭代步驟,

(1)當 $i_1$ '< $i_2$ '時,( $i_1$ ', $i_2$ ', $i_3$ ', $i_4$ ', $i_5$ ')  $\Rightarrow$ ( $i_1$ ', $i_2$ '- $i_1$ ', $i_3$ ', $i_4$ ', $i_5$ ') 再執行步驟(2)。否則直接步驟(2)。

(2)當i,'<i,'時,(i,',i,',i,',i,',i,')⇒(i,',i,'+1,i,'-i,',i,',i,')再執行步驟(3)。否則直接步驟(3)。

(3)當 $i_3$ '< $i_4$ '時, $(i_1$ ', $i_2$ ', $i_3$ ', $i_4$ ', $i_5$ ') $\Rightarrow$ ( $i_1$ ', $i_2$ ', $i_3$ '+1, $i_4$ '- $i_3$ ', $i_5$ ')再執行步驟(4)。否則直接步驟(4)。

(4)當 i4' < i5' 時, (i1',i2',i3',i4',i5') ⇒ (i1',i2',i3',i4'+1,i5'-i4') 回步驟(1)。

重複進行(1)(2)(3)(4)至 $i_1' \ge i_2' \ge i_3' \ge i_4' \ge i_5'$ 為止。此時 $(i_1',i_2',i_3',i_4',i_5')$ 為 $x_1 = i_1 + 1$ 的 紅球坐標。

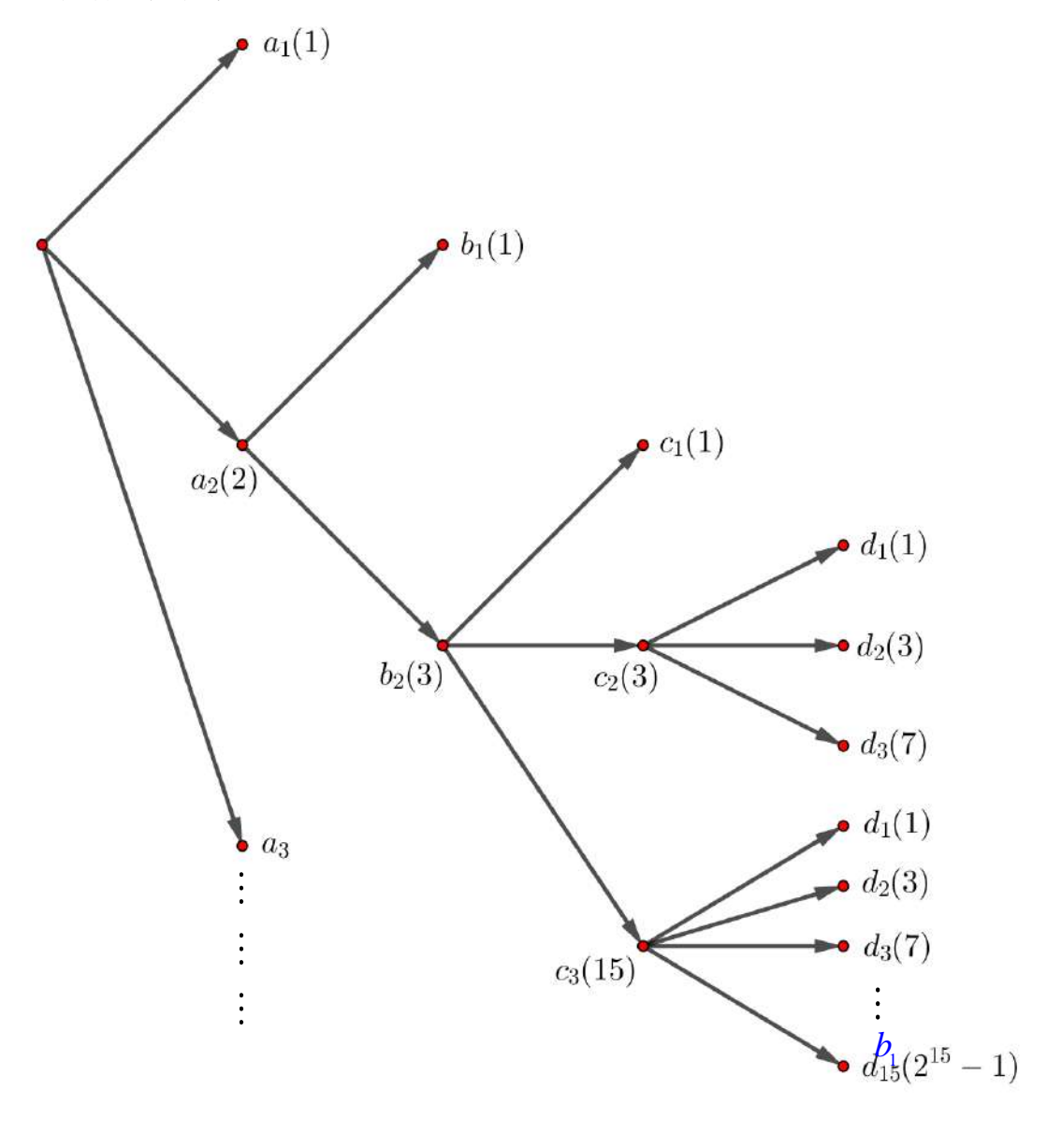
下表為以「5維空間斜列錯開法」排列的 $\Delta_{n,l}^{[5]}$ 之紅球座標以及最佳陣列之最大值k。

		7			
k	1	$a_2$ $b_1$	2		3
紅	(1,1,1,1)	(2, 1, 1, 1, 1)	(26,26,26,15,1)	(1028,1028,1028,1023,1)	(65534,1,1,1,1)
	$a_1$	$9_2(3.3/1,1,1)^{-1}$		:	$u_2$
4 <del>-</del> T	1	$(4.4.3.11)d_1$	(40,40,40,29,29)	(2050, 2050, 2050, 2045, 2045)	3
球		$^{2}$ (5,5,4,3,1) $d_{2}$	(41,41,41,31,1)	(2051, 2051, 2051, 2047, 1)	
		(6,6,5,4,3)		:	
座		(7,7,6,5,5)	(71,71,71,61,61)	(4097,4097,4097,4093,4093)	
		(8,8,7,7,1)d	(72,72,72,63,1)	(4098,4098,4098,4095,1)	
11111		(9,9,8,8,3)	:	:	
標		(10,10,9,9,5)	(134,134,134,125,125)	(8192,8192,8192,8189,8189)	
		(11,11,10,10,7)	(135,135,135,127,1)	(8193,8193,8193,8191,1)	
		(12,12,11,11,9)		:	
		(13,13,12,12,11)	(261,261,261,253,253)	(16383.16383.16383.16381.16381)	
		(14,14,13,13,13	(262,262,262,255,1)	(16384,16384,16384,16383,1)	
		(15,15,13,1,1)	:	:	
		(16,16,16,3,1)	(516,516,516,509,509)	(32766, 32766, 32766, 32765, 32765)	
		:	(517 517 517 511 1)	(22767 22767 22767 22767 1)	
		(18,18,18,5,5)	(517,517,511,1)	(32767,32767,32767,32767,1)	
		(19,19,19,7,1)	:	;	
		:	(1027,1027,1027,1021,1021)	(65533,65533,65533,65533)	
		(25,25,25,13,13)			

與4維的情形相同,每個紅球座標間都存在著某種意義與關係。敘述如下:

- (1)數列 $\langle a_k \rangle$ 滿足 $(a_1,1,1,1,1) \to (a_2,1,1,1,1) \to (a_3,1,1,1,1) \to \cdots$
- (2)數列 $\langle b_{\iota} \rangle$ 滿足 $(a_{\iota}, b_{\iota}, 1, 1, 1) \to (\bigcirc', b_{\iota}, 1, 1, 1) \to (\bigcirc'', b_{\iota}, 1, 1, 1) \to \cdots 共 a_{\iota}$ 項
- (3)數列 $\langle c_k \rangle$ 滿足 $(\bigcirc, b_i, c_1, 1, 1) \rightarrow (\bigcirc', \square, c_2, 1, 1) \rightarrow (\bigcirc'', \square', c_3, 1, 1) \rightarrow \cdots$ 共 $b_i$ 項
- (4)數列 $\langle d_k \rangle$ 滿足 $(O, \square, c_i, d_1, 1) \to (O', \square', \Delta, d_2, 1) \to (O'', \square'', \Delta', d_3, 1) \to \cdots 共 c_i$ 項 而這些 $d_k$ 值代表其所領導的小區域之紅球數量,即若紅球座標變化為  $(O, \square, \Delta, d_k, 1) \to (O', \square', \Delta', d_{k+1}, 1)$ ,則 $O' = O + d_k$ 。

我們將以上關係畫成樹狀圖



由樹狀圖可得以下遞迴關係:

$$a_1 = 1$$

$$a_2 = a_1 + 1 = 2$$

$$a_{3} = a_{2} + \underbrace{\left(1\atop_{b_{1}\overline{q}}\right) + \left(1\atop_{c_{1}\overline{q}}\right) + \left(1+3+7\atop_{c_{2}\overline{q}}\right) + \left(1+3+7+\cdots+\left(2^{c_{3}}-1\right)\atop_{c_{3}\overline{q}}\right)}_{a_{2}\overline{q}}$$

$$= 2 + \left(1\right) + \left(\left(^{2}2 - ^{1}2 - 1\right) + \left(^{3}2 - ^{2}2 - 1\right) + \left(^{4}2 - ^{3}2 - 1\right)\right) = 2^{16} - 2 = 65534$$

$$\vdots$$

· 依此類推可得  $a_{k+1}=a_k+\left[S_1+S_2+\cdots+S_{a_k}\right]$ ,其中  $S_k=\underbrace{T_1+T_2+\cdots+T_{b_k}}_{\sharp b_k \bar{q}}$  、  $T_k=\underbrace{d_1+d_2+\cdots+d_{c_k}}_{\sharp c_k \bar{q}}$  ,

 $\coprod d_k = 2^k - 1 \cdot c_k = {}^k 2 - 1 \cdot b_k = {}_k 2 - 1 \circ$ 

【註】 $_{b}a$  為五級運算,是迭代幂次的迭代,定義為 $_{b}a=\frac{a}{a}a$ ,亦可以符號 $_{a}$ [5] $_{b}$ 表示。

同理四維情形問題  $1 \cdot 2$  之分析,我們亦可推得  $d_k = 2^k - 1 \cdot c_k = {}^k 2 - 1 \circ$  接著分析  $b_k$  的通式。

問題 3: 如何得知  $b_{k} = {}_{k}2-1$  呢?

<u>分析</u>: 觀察座標( $\bigcirc$ , $b_k$ ,1,1,1) 變化為( $\bigcirc$ ', $b_{k+1}$ ,1,1,1)的過程

已知 
$$T_k = \sum_{i=1}^{c_k} d_i = \sum_{i=1}^{c_k} (2^i - 1) = \frac{2(2^{c_k} - 1)}{2 - 1} - c_k = 2^{c_k + 1} - 2 - c_k = 2^{k_2} - k 2 - 1 = k + 12 - k 2 - 1$$

$$b_{k+1} = b_k + (T_1 + T_2 + \dots + T_{b_k}) + 1 = b_k + \left[ (2^2 - 1^2 - 1) + (3^2 - 2^2 - 1) + \dots + (b_k + 1^2 - b_k 2 - 1) \right] + 1$$

$$= b_k + \frac{b_k + 1}{2} - 1^2 - b_k + 1 = \frac{b_k + 1}{2} - 1$$

即 $\langle b_k \rangle$ 滿足遞迴關係式  $\begin{cases} b_{k+1} = {}^{b_k+1}2-1, k \geq 1 \\ b_1 = 1 \end{cases}$ ,解得 $b_k = {}_k2-1=2[5]k-1 (\forall n \in N)$ 。

由以上可知 
$$S_k = \sum_{i=1}^{b_k} {i+1 \choose 2-i} = {b_k+1 \choose 2-2-b_k} = {k \choose 2} = {k$$

可推得 
$$a_{k+1} = a_k + \sum_{i=1}^{a_k} (a_{i+1} 2 - a_i 2 - 1) = a_k + a_{k+1} 2 - a_k = a_{k+1} 2 - 2$$

因此數列 $\langle a_k \rangle$ 的遞迴關係式為  $\begin{cases} a_{k+1} = {}_{a_k+1} 2 - 2, k \ge 1 \\ a_1 = 1 \end{cases}$ 

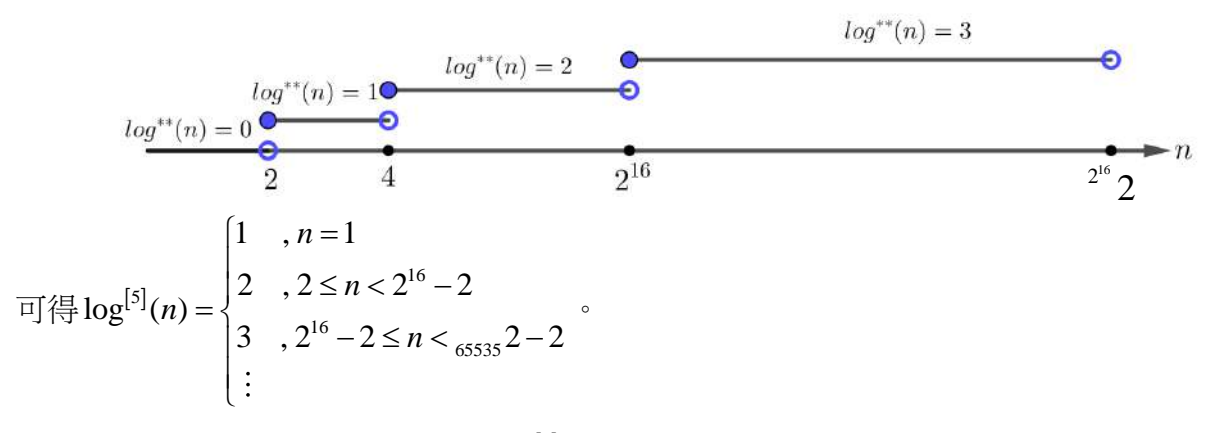
由以上結論,我們可以得到 $J_1^{[5]}(n)$ 之通式,敘述如下:

# 5 維空間 $J_1^{[5]}(n)$ 之通式:

在
$$\Delta_{n,1}^{[5]}$$
中,定義 $\log^{[5]}(n)$ 滿足 $\log^{[5]}(n) = \begin{cases} 0 & ,n < 1 \\ 1 + \log^{[5]}(\log^{**}(n+2) - 1), n \ge 1 \end{cases}$ ,則

$$J_1^{[5]}(n) = \log^{[5]}(n)$$
 。其中  $\log^{**}(n)$  滿足  $\log^{**}(n) = \begin{cases} 0 & , n < 2 \\ 1 + \log^{**}(\log^{*}(n)) & , n \ge 2 \end{cases}$ 

我們將  $\log^{**}(n)$  的值整理如下,特別的是  $\log^{**}(\iota_{\ell} 2) = k, \forall k \in N$ 。



可以看得出來,無論是 $\log^{**}(n)$ 或 $\log^{[5]}(n)$ ,它們都是增加速度極為緩慢的函數。

#### $(\equiv) m \in N : \ell = 1$

事實上,4維與5維空間通式的推導過程也可以類推至 m維情形,我們將結論整理如下:

## m 維空間斜列錯開法

在 $\Delta_{n,1}^{[m]}$ 中,設m維空間座標為 $(x_1,x_2,\cdots,x_m)$ , $x_1=i_1$ 的紅球座標為 $(i_1,i_2,\cdots,i_m)$ 。

 $\diamondsuit$ ( $i_1$ ', $i_2$ ',…, $i_{m-1}$ ', $i_m$ ') = ( $i_1$  + 1,  $i_2$  + 1,…, $i_{m-1}$  + 1,  $i_m$  + 2) ,進行以下迭代步驟,

(1)當 $i_1$ '< $i_2$ '時, $(i_1$ ', $i_2$ ',…, $i_m$ ')  $\Rightarrow$   $(i_1$ ', $i_2$ '- $i_1$ ',…, $i_m$ ') 再執行步驟(2)。否則直接步驟(2)。

(2)當 $i_2$ '  $< i_3$ '時, $(i_1',i_2',i_3',\cdots,i_m')$   $\Rightarrow$   $(i_1',i_2'+1,i_3'-i_2',\cdots,i_m')$  再執行步驟(3)。否則直接步驟(3)。

(m1)當
$$i_{m-1}$$
' < $i_m$ ' 時, $(i_1$ ', $i_2$ ',…, $i_{m-1}$ ', $i_m$ ')  $\Rightarrow$  ( $i_1$ ', $i_2$ ',…, $i_{m-1}$ '+1, $i_m$ '- $i_{m-1}$ ') 回步驟(1)。

重複進行(1)(2)… (m·l)至 $i_1' \ge i_2' \ge \cdots \ge i_{m-1}' \ge i_m'$ 為止。此時 $(i_1',i_2',\cdots,i_{m-1}',i_m')$ 為 $x_1 = i_1 + 1$ 的紅球坐標。

**每個紅球座標間都存在著某種意義與關係。** 

(1)數列
$$\langle a_{1,k} \rangle$$
滿足 $(a_{1,1},\underbrace{1,1,\cdots,1}) \rightarrow (a_{1,2},\underbrace{1,1,\cdots,1}) \rightarrow (a_{1,3},\underbrace{1,1,\cdots,1}) \rightarrow \cdots$ 

(2)數列 
$$\langle a_{2,k} \rangle$$
 滿足  $(a_{1,i}, a_{2,1}, 1, \cdots, 1) \to$  (O',  $a_{2,2}, 1, \cdots, 1) \to$  (O",  $a_{2,3}, 1, \cdots, 1) \to \cdots$  共 $a_{1,i}$  項

(3)數列
$$\left\langle a_{3,k} \right\rangle$$
滿足 $\left(\bigcirc, a_{2,i}, a_{3,1}, 1, \cdots, 1\right) \to \left(\bigcirc', \square, a_{3,2}, 1, \cdots, 1\right) \to \left(\bigcirc'', \square', a_{3,3}, 1, \cdots, 1\right) \to \cdots$ 共 $\left( a_{2,i} \right)$  項

(m1)數列  $\langle a_{m-1,k} \rangle$  滿足 (〇,口,…, $a_{m-2,i}$ , $a_{m-1,1}$ ,1)  $\to$  (〇',口',…, $\triangle$ , $a_{m-1,2}$ ,1)  $\to$  (〇',口'',…, $\triangle$ ', $a_{m-1,3}$ ,1)  $\to$  … 共 $a_{m-2,i}$  項,而這些  $a_{m-1,k}$  值代表其所領導的小區域之紅球數量,即若紅球座標變化為 (〇,口,…, $\triangle$ , $a_{m-1,k}$ ,1)  $\to$  (〇',口',…, $\triangle$ ', $a_{m-1,k+1}$ ,1),則〇'=〇+ $a_{m-1,k}$ 。

由以上迭代關係可知  $a_{m-1,k} = 2^k - 1 = 2[3]k - 1$ 、 $a_{m-2,k} = {}^k 2 - 1 = 2[4]k - 1$ 、 $a_{m-3,k} = {}_k 2 - 1 = 2[5]k - 1$ 、……,可歸納出通式 $a_{i,k} = 2[m-i+2]k-1$ 。

【註】a[t]b代表第t級(超)運算,每一級的超運算都是對上一級的迭代。即  $a[t]b = \underbrace{a[t-1](a[t-1](a[t-1]\cdots(a[t-1](a[t-1]a))\cdots))}_{L}$ 

因此,我們可以歸納出 m 維空間  $J_{\scriptscriptstyle \perp}^{\scriptscriptstyle [m]}(n)$  之通式如下:

## m 維空間 $J_{\perp}^{[m]}(n)$ 之通式:

在
$$\Delta_{n,1}^{[m]}(m \ge 4)$$
中,定義 $\log^{[m]}(n)$ 滿足 $\log^{[m]}(n) = \begin{cases} 0 & ,n < 1 \\ 1 + \log^{[m]} \left(\log^* \cdots * (n+2) - 1\right), n \ge 1 \end{cases}$ ,則

在
$$\Delta_{n,1}^{[m]}(m \ge 4)$$
中,定義 $\log^{[m]}(n)$ 滿足 $\log^{[m]}(n) = \begin{cases} 0 & ,n < 1 \\ 1 + \log^{[m]} \left(\log^* \cdots *(n+2) - 1\right), n \ge 1 \end{cases}$ ,則
$$J_1^{[m]}(n) = \log^{[m]}(n) \circ \sharp + \log^* \cdots *(n)$$
 滿足 $\log^* \cdots *(n) = \begin{cases} 0 & ,n < 2 \\ 1 + \log^* \cdots *(n) & \log^* \cdots *(n) \end{cases}$   $n \ge 2$ 

事實上,<u>二維與三維的情形也符合此通式</u>,若 $\log_2(n)$  視作為 $\log^*(n)$ 的低一階運算,且 $\frac{n}{2}$ 視作為 $\log_2(n)$ 的低一階運算。

在三維的情形,若我們定義  $\log^{[3]}(n)$  滿足  $\log^{[3]}(n) = \begin{cases} 0 & ,n < 1 \\ 1 + \log^{[3]}\left(\log_2(n+2) - 1\right), n \ge 1 \end{cases}$ ,則

在二維的情形,若我們定義 
$$\log^{[2]}(n)$$
 滿足  $\log^{[2]}(n) = \begin{cases} 0 & ,n < 1 \\ 1 + \log^{[2]}\left(\frac{n+2}{2} - 1\right), n \ge 1 \end{cases}$ ,則

 $J^{[2]}_{\cdot}(n) = \log^{[2]}(n)$ 。這個結論和定理 2 也是相符的。我們成功將  $\ell=1$  的情形推廣至 m 維空間。

# 參、研究結果

## -、Δ"/之最佳路徑最小化問題

$$\begin{cases} a_k = 1 + \left\lceil \sum_{i=1}^{k-1} a_i + \frac{(\ell-1)(\ell-2)}{2} \right\rceil, & k \ge \ell+1 \\ a_1 = 1, a_2 = 2, \cdots, a_\ell = \ell \end{cases}, \not \stackrel{\textstyle \pm}{E} a_k \le n < a_{k+1} \ , \not \stackrel{\textstyle \coprod}{=} J_\ell(n) = k \ \circ \ \text{特別的是} \ , \ \not \stackrel{\textstyle \perp}{=} \ell = 1 \text{ if } ,$$

$$J_1(n) = \lceil \log_2 n \rceil + 1, \forall n \in \mathbb{N} \circ$$

## 二、 $\Delta_n$ 之最糟路徑最大化問題

$$I_{1}(n)=1, \forall n \in \mathbb{N} \text{ , } 當 \ell \geq 2 \text{ 時,令數列} \left\langle a_{k} \right\rangle \text{ 滿足} \left\{ \begin{aligned} a_{k} &= 1 + \left\lceil \frac{\sum\limits_{i=1}^{k-1} a_{i} + \frac{(\ell-1)(\ell-2)}{2}}{2} \right\rceil, k \geq \ell+1 \\ a_{1} &= 1, a_{2} = 2, \cdots, a_{\ell} = \ell \end{aligned} \right\}, \xi \geq \ell+1 \text{ , } \xi \geq \ell+1 \text{ , } \xi \geq \ell+1 \text{ .}$$

 $a_{\scriptscriptstyle k} \leq n < a_{\scriptscriptstyle k+1}$ ,則  $I_{\scriptscriptstyle \ell}(n) = k$  。特別的是,當  $\ell = 2$  時,  $I_{\scriptscriptstyle 2}(n) = \left[\log_2 n\right] + 1$  ,  $\forall n \in N$  。

## 三、Δ\*,,,之最佳路徑最小化問題

在  $\Delta^*_{n,\ell}$  中,可以「空間斜列錯開法」建構出任意大小的最糟日式三角垛,且可以迭代演算法求出  $J_{\ell}^*(n)$ 。特別的是,當  $\ell=1$  時,定義  $\log^{[3]}(n)$  滿足  $\log^{[3]}(n)=\begin{cases} 0 & ,n<1\\ 1+\log^{[3]}\left(\log_2(n+2)-1\right), n\geq 1 \end{cases}$ ,則  $J_1^*(n)=\log^{[3]}(n)$ 。

## 四、 $\Delta^*_{n,\ell}$ 之最糟路徑最大化問題

在  $\Delta^*_{n,\ell}$  中,可以「空間斜列防堵法」建構出任意大小的最佳日式三角垛,且可以迭代演算法求出  $I_\ell^*(n)$  特別的是,當  $\ell=1,2$  時,  $I_1^*(n)=I_2^*(n)=1$ ,當  $\ell=3$  時,  $I_3^*(n)=\begin{cases} 1,n=1\\ 2,n\geq 2 \end{cases}$  更進一步,當 n 足夠大時,  $I_\ell^*(n)$  會呈現定值,即存在  $i,c\in N$ ,使得  $I_\ell^*(n)=c$ , $\forall n\geq i$ ,而 i 的最小值  $\min_{\ell}(i)$  滿足  $\ell-1\leq \min_{\ell}(i)\leq \ell-2+\sum_{k=1}^{\ell-2}\left[\frac{\ell-2}{k}\right]$  。

#### 五、 $\ell=1$ 高維空間情形之探討

在 
$$\Delta_{n,1}^{[m]}(m \ge 4)$$
 中,定義  $\log^{[m]}(n)$  滿足  $\log^{[m]}(n) = \begin{cases} 0 & ,n < 1 \\ 1 + \log^{[m]}\left(\log^* \cdots *(n+2) - 1\right), n \ge 1 \end{cases}$ ,則 
$$J_1^{[m]}(n) = \log^{[m]}(n) \circ$$
其中  $\log^* \cdots *(n)$  滿足  $\log^* \cdots *(n) = \begin{cases} 0 & ,n < 2 \\ 1 + \log^* \cdots *(n) & \log^* \cdots *(n) \end{cases}$   $n \ge 2$ 

## 肆、討論與未來展望

在這篇研究中,我們除了針對平面日式三角形作延伸探討,推導出 $J_{\ell}(n)$ 與 $I_{\ell}(n)$ 的通式,同時配合迭代演算法,將問題推廣至空間日式三角垛的情形,大大的**優化了程式的時間複雜**  $\mathbf{E}$ 。其中,我們對於 $\ell=1$ 的情形特別感到興趣,比如在 $\Delta_{n,1}$ 中, $J_{1}(n)=[\log_{2}n]+1$ 代表著n可以執行幾次「 $\mathbf{m}$   $\mathbf{2}$  後除以  $\mathbf{2}$  再減  $\mathbf{1}$  」的運算後小於  $\mathbf{1}$ 。而在 $\Delta^{*}_{n,1}$ 中, $J_{1}^{*}(n)=\log^{[3]}(n)$  代表著n可以執行幾次「 $\mathbf{m}$   $\mathbf{2}$  後取以  $\mathbf{2}$  為底的對數值再減  $\mathbf{1}$  」的運算後小於  $\mathbf{1}$ 。最終我們成功地推導出高維的通式, $J_{1}^{[m]}(n)$ 值代表n 可以執行幾次「 $\mathbf{m}$   $\mathbf{2}$  後取  $\log^{*...*}$  值再減  $\mathbf{1}$  」的運算後小於  $\mathbf{1}$ ,它是一個增加速度極為緩慢的函數。除此之外,在 $\Delta^{*}_{n,\ell}$  之最糟路徑最大化問題中,我們已找到  $I_{\ell}^{*}(n)$  開始呈現定值的時機,同時,針對  $I_{\ell}^{*}(n)$  開始呈現定值的最小 n 值,找到它的一組上界與下界,是否能夠再估計出更精確的上下界,是未來努力的目標。另一方面,最糟日式三角形(垛)與最佳日式三角形(垛)的個數,也是個值得研究的排列組合問題。

## 伍、參考文獻資料

- 1. 64th International Mathematical Olympiad. 取自 https://www.imo-official.org/problems.aspx。
- 2. Eric Shen(2023). IMO2023. 取自 http://ericshen.net/exams/IMO2023.pdf。
- 3. A005428. 取自 The On-Line Encyclopedia of Integer equences®。
- 4. Iterated logarithm.。取自 https://en.wikipedia.org/wiki/Iterated\_logarithm。
- 5. Hyperoperation。取自 https://en.wikipedia.org/wiki/Hyperoperation。

# 附錄

## 【程式碼 — $J^*(n)$ 】

```
#include<bits/stdc++.h>
using namespace std;
#pragma GCC target("avx2,popcnt")
#pragma GCC optimize("03,unroll-loops,fast-math")
#define IOS() ios::sync_with_stdio(0),cin.tie(0)
void solve(int n,int 1) {
   vector<int> a;
   int x=1,y=1,z=1,k=0;//x:i_t y:j_t z:k_t
   while(1) {
       if(((long long)y*(y-1)>>1)+z<=1) {
           k++;
           a.push back(x);
       }
       if(x>=n) break;
       if(((long long)(x+1)*(x+2)>>1)<l) {
           x=y=z=x+1;
           continue;
       }
       x++,y++,z+=1+1;
       while(1) {
           if(x<y) y-=x;
           else if(y<z) z-=y,y++;</pre>
           else break;
       }
    }
   for(int i=0;i<a.size();i++) cout<<a[i]<<' ';cout<<'\n';</pre>
   cout<<"J("<<n<<","<<l<<") = "<<k<<endl;
}
signed main() {
   IOS();
   int n,l;
   while(cin>>n>>l) {
       solve(n,1);
   }
   return 0;
}
```

## 【程式碼 $-I^*(n)$ 】

```
#include<bits/stdc++.h>
using namespace std;
#pragma GCC target("avx2,popcnt")
#pragma GCC optimize("03,unroll-loops,fast-math")
#define IOS() ios::sync with stdio(0),cin.tie(0)
void solve(int n,int 1) {
   vector<int> a;
   int x=1,y=1,z=1,k=0;//x:i t y:j t z:k t
   while(1) {
       if(((long long)y*(y-1)>>1)+z<=1) {
           k++;
           a.push_back(x);
       }
       if(x>=n) break;
       if(((long long)(x+1)*(x+2)>>1)<l) {
           x=y=z=x+1;
           continue;
       }
       z-=1;
       while(1) {
           if(y<1) y+=x,z+=x;
           else if(z<1) z+=y-1,y--;
           else break;
       }
       X++, Y++, Z++;
   }
   for(int i=0;i<a.size();i++) cout<<a[i]<<' ';cout<<'\n';</pre>
   cout<<"I("<<n<<","<<l<<") = "<<k<<endl;
}
signed main() {
   IOS();
   int n,1;
   while(cin>>n>>l) {
       solve(n,1);
   }
   return 0;
}
```

# 【評語】010035

將一個 IMO 題目做延伸,作者用其方法給出問題解,也將題目延伸至三角垛及高維 l=1 的情形,予以解決,對於高維情形相對複雜,可先用電腦程式試著找出是否有一規律性,然後再予以解決,除此之外,將來可在排列個數的變化上再予以著墨。